



école polytechnique de thiès

GM.0564

PROJET DE FIN D'ETUDES

TITRE: DÉTERMINATION DE LA LONGUEUR DE MÉLANGE
AU VOISINAGE DE LA PAROI D'UNE COUCHE
LIMITÉ TURBULENTÉ SOUMISE À UN
GRADIENT DE PRESSION DÉFAVORABLE.

Auteur SAÏBA FAÏNKE
Génie MÉCANIQUE
Date JUIN 78

E C O L E P O L Y T E C H N I Q U E D E T H I E S

S E N E G A L

DETERMINATION DE LA LONGUEUR DE MELANGE
AU VOISINAGE DE LA PAROI D'UNE COUCHE
LIMITE TURBULENTE SOUMISE A UN GRADIENT
DE PRESSION DEFAVORABLE

— — — — — ○ — — — — —

par

SAIBA FAINKE

sous

la direction de V. NGUYEN-DUY

Département de Génie Mécanique

JUIN 1978

R E M E R C I E M E N T S

Je tiens tout d'abord à exprimer ici ma profonde reconnaissance à mon Directeur de Projet Monsieur Vinh NGUYEN-DUY qui m'a initié au problème de la longueur de mélange et qui m'a constamment guidé et soutenu tout au long de cette étude.

Je ne saurais non plus oublier Madame Suzanne YOUNG à qui j'adresse mes sincères remerciements pour avoir bien voulu dactylographié ce texte avec beaucoup de soins.

Enfin, je remercie l'équipe de la bibliothèque pour ses prêts de livre de longue durée, le service audiovisuel, pour l'impression de ce texte, et toutes les personnes de près ou de loin, de leurs conseils, leurs suggestions pertinentes et constructives m'ont aidé pour la réalisation de cette étude.

R E M E R C I E M E N T S

Je tiens tout d'abord à exprimer ici ma profonde reconnaissance à mon Directeur de Projet Monsieur Vinh NGUYEN-DUY qui m'a initié au problème de la longueur de mélange et qui m'a constamment guidé et soutenu tout au long de cette étude.

Je ne saurais non plus oublier Madame Suzanne YOUNG à qui j'adresse mes sincères remerciements pour avoir bien voulu dactylographié ce texte avec beaucoup de soins.

Enfin, je remercie l'équipe de la bibliothèque pour ses prêts de livre de longue durée, le service audiovisuel, pour l'impression de ce texte, et toutes les personnes de près ou de loin, de leurs conseils, leurs suggestions pertinentes et constructives m'ont aidé pour la réalisation de cette étude.

TABLE DE MATIERES

	<u>Page</u>
SOMMAIRE.....	i
TABLES DE NOTATION.....	ii
INTRODUCTION.....	1
CHAPITRE I - Considérations théoriques.....	2
CHAPITRE II - Détermination de la longueur de mélange.....	8
II - 1 Les mesures de Cf.....	9
II-1-1 Le tube de Preston.....	10
II-1-2 La balance à élément flottant.....	12
II-1-3 La méthode de Dickinson.....	12
II - 2 Calcul de $\frac{\partial(\text{UN})}{\partial(\text{YN})}$	
CONCLUSION.....	16
ANNEXE.....	17
BIBLIOGRAPHIE.....	24
TABLES DE DONNEES.....	27
TABLES D'APPROXIMATION (Profils complets, profils partiels).....	35
TABLEAUX DES RESULTATS.....	38
DISTRIBUTION DE $1/\delta$ v_s y/δ pour les stations de 1 à 8.....	46

S O M M A I R E

A partir des mesures de frottement pariétal et des lissages numériques précis de profils de vitesse moyenne, nous avons calculé la longueur de mélange pour une couche limite turbulente soumise au gradient de pression adverse modéré.

Il ressort de nos calculs qu'au voisinage de la paroi, l'expression Prandtl-Karman $l = 0.4$ y est bien vérifiée. Ceci implique une universalité de la loi de la paroi.

TABLES DE NOTATIONS

$A(n)$:	fonction universelle de Dickinson.
c_f	:	coefficient de frottement = $\frac{\tau_0}{\frac{1}{2} \rho U_e^2}$
d	:	diamètre extérieur du tube de Preston
D	:	diamètre de l'élément flottant
n	:	exposant de la loi en puissance = $\frac{d(\log y)}{d(\log u)}$
p	:	pression statique locale
q^*	:	pression dynamique enregistrée par le tube de Preston
U, V, W	:	composante de vitesse moyenne locale
U', V', W'	:	composantes turbulentes de vitesse
U_e	:	vitesse de frottement = $\sqrt{\frac{\tau_0}{\rho}}$
δ	:	épaisseur de la couche limite
δ^*	:	épaisseur de déplacement = $\int_0^\infty (1 - \frac{U}{U_e}) dy$
Δ	:	coefficient de gradient de pression = $\frac{V}{\rho U_e^3} \cdot (\frac{dp}{dx})_{y=0}$
μ	:	viscosité dynamique
ν	:	viscosité cinématique

$$U_+ : = \frac{U}{U_C}$$

$$y_+ : = \frac{y \cdot U_C}{D}$$

δ : masse volumique

τ_0 : frottement pariétal

τ : contrainte tangentielle

$-\delta \overline{U'V'}$: contrainte tangentielle turbulente

l : longueur de mélange

L : longueur de dissipation.

I N T R O D U C T I O N

Cette étude a pour but de vérifier l'équation de la longueur de mélange au voisinage de la paroi qui s'écrit :

$$l = Ky$$

où K est la constante "universelle" de Von Karman pris égale à 0.40

Les calculs de l s'effectuent à partir des mesures soignées de vitesse moyenne et de frottement pariétal résultant d'une étude expérimentale de NGUYEN-DUY [1] dans une couche limite turbulente soumise aux gradients de pression adverses modérés.

Nous avons divisé l'étude en trois parties principales :

- Dans un premier chapitre, intitulé "Considérations théoriques" nous allons définir d'une manière théorique la notion de longueur de mélange, et les termes qui s'y rattachent.
- Le deuxième chapitre intitulé "Détermination de la longueur de mélange" nous permettra de faire une brève révision des différentes méthodes de détermination du frottement pariétal pour nous rendre compte de leur degré de précision.
Le lecteur trouvera également dans ce chapitre, un résumé des différentes techniques de lissage numérique. Nous avons retenu pour nos calculs la technique de lissage exponentiel qui nous permet de calculer la dérivée première du profil de vitesse et de déduire par la suite la longueur de mélange.
- Les valeurs calculées dans le deuxième chapitre seront confrontées directement à l'expression semi-théorique de Von Karman nous permettant ainsi de dégager certaines conclusions.

CHAPITRE I

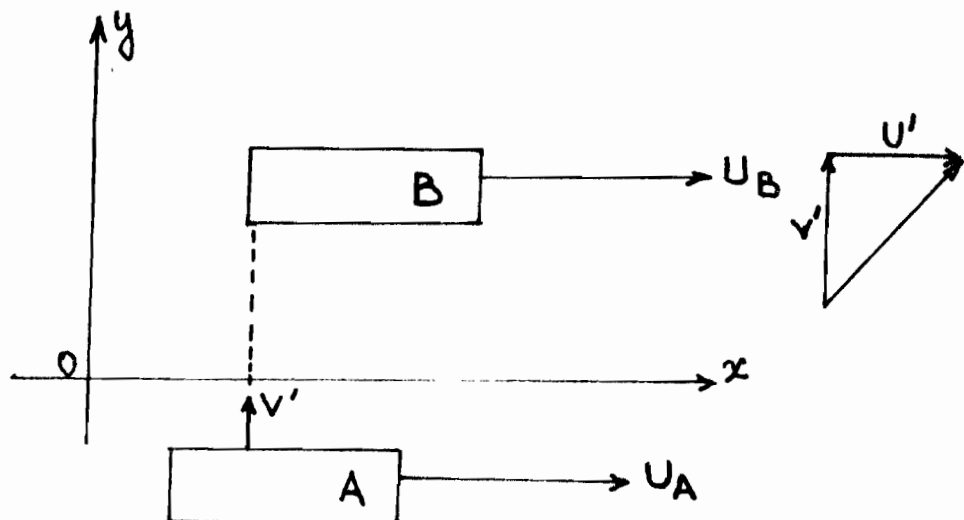
CONSIDERATIONS THEORIQUES

L'expérience montre qu'en régime turbulent, l'énergie dissipée est beaucoup plus considérable que celle qui résulterait de la seule viscosité par application de la formule de Newton.

Boussinesq (cf [2]) a expliqué l'accroissement des tensions tangentialles par l'échange continual de particules résultant de la turbulence et provoquant une variation de la quantité de mouvement et, par suite une résistance supplémentaire à l'écoulement.

Pour comprendre comment dans le régime turbulent un effort tangentiel peut s'exercer entre deux couches en mouvement par un simple échange latéral de quantité de mouvement, indépendamment de ce qui peut être dû au contact mutuel et au glissement relatif, Bakmeteff a donné l'image matérielle suivante.

Considérons deux corps A et B éloignés l'un de l'autre et se mouvant chacun d'un mouvement de translation parallèlement à Ox et dans le même sens. Soient U_A et U_B leur vitesse respective. Supposons $U_A > U_B$ et désignons par $U' = U_A - U_B$



On peut le calculer en faisant l'hypothèse simplificatrice suivante. Soient deux couches de fluide en mouvement séparées par une surface S et supposons que pour toutes les molécules en contact de part et d'autre de cette surface S, les vitesses relatives soient uniformément U' dans le sens de l'écoulement et V' dans le sens transversal.

Pendant chaque seconde la masse échangée à travers l'unité de surface de S est $\oint v'$; l'accroissement correspondant de quantité de mouvement dans le sens de l'écoulement est $\oint v' U'$, de sorte que l'effort tangentiel qui en résulte est égal, par unité de surface à :

$$\tau = \oint u' v'$$

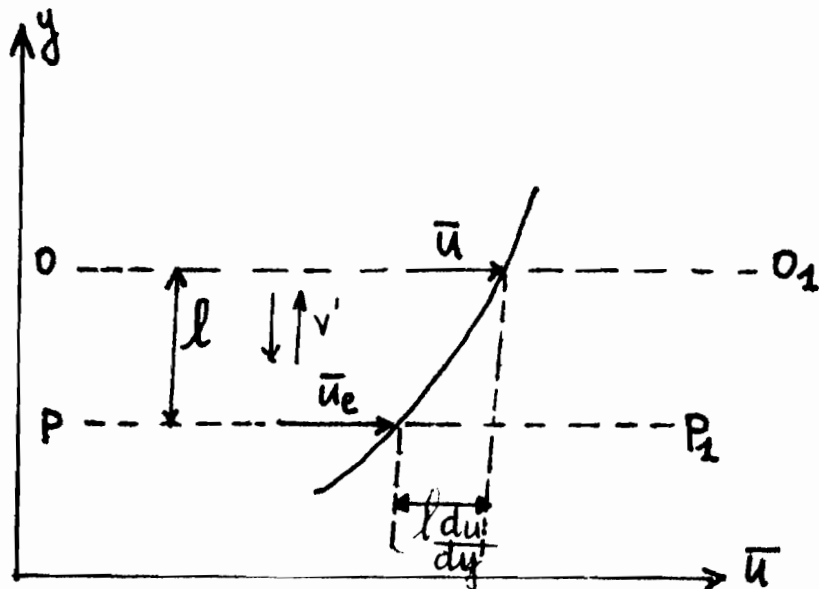
et en moyenne, pendant une intervalle de temps fini

$$\tau = \overline{\oint u' v'}$$

$\overline{u' v'}$ représentant la moyenne du produit des fluctuations de la vitesse instantanée dans le sens longitudinal (U') et dans le sens transversal (V').

Une telle dissipation d'énergie résultant d'un échange latéral de quantité de mouvement, existe toujours dans l'écoulement d'un fluide réel en régime laminaire ou turbulent, mais dans le cas du régime laminaire, les particules mises en jeu sont les molécules du fluide entraînant un échange de quantité de mouvement à l'échelle moléculaire, dans le cas d'un régime turbulent, à ce processus à l'échelle moléculaire se superpose un échange de quantité de mouvement entre particules fluides de volume plus ou moins important c'est-à-dire à une échelle beaucoup plus grande et les phénomènes d'origine visqueuse sont alors masqués par ceux d'origine turbulente.

On peut appliquer le même raisonnement à un écoulement continu en régime turbulent dans lequel la vitesse moyenne \bar{U} est distribuée suivant une certaine loi $\bar{U}(y)$, y représentant la distance à la paroi.



A travers un plan OO_1 parallèle à la direction générale de l'écoulement, existe un échange transversal de particules avec des vitesses transversales $+ v'$. Il s'agit de relier v' à la vitesse longitudinale différentielle U' que le mouvement d'agitation va transferer à la couche OO_1

En 1925, Prandtl et Von Karman définissent dans ce but la longueur de mélange l , qui est la distance du plan OO_1 à un autre plan PP_1 telle qu'une particule soumise à l'impulsion transversale v' et partant du plan PP_1 puisse atteindre la couche OO_1 et participer ensuite au mouvement de cette couche OO_1 . Au delà de la distance l , les particules issues de PP_1 n'ont plus d'action sur le mouvement du plan OO_1 . Cette hypothèse de la longueur de mélange est analogue à celles que les physiciens appellent l'hypothèse du libre parcours moyen des molécules dans la théorie cinétique des gaz.

Examinons l'influence sur la couche OO_1 de ce double courant de particules : celles qui proviennent de PP_1 et qui atteignent OO_1 , et celles qui quittent OO_1 pour atteindre PP_1 :

- (i) Les particules provenant de PP_1 situé à la distance l ont une vitesse V' dirigée vers OO_1 , et comme leur composante U' de fluctuation est nulle en moyenne, elles parviennent en OO_1 avec leur vitesse moyenne \bar{U}_e , c'est-à-dire une vitesse relative négative

$\bar{U}_e - \bar{U} = -1 \frac{d\bar{U}}{dy}$. Elles exercent donc sur 001 un effort retardateur.

$$\tau = -v' l \frac{d\bar{U}}{dy} \quad (1)$$

(ii) Les particules quittant 001 vers PP₁ ont une vitesse transversale v' et une composante U' ; elle parviennent en PP₁ avec une vitesse relative positive

$\bar{U} - \bar{U}_e = +1 \frac{d\bar{U}}{dy}$. Elles exercent donc sur PP₁ un effort accélérateur :

$$\tau = +\rho v' l \frac{d\bar{U}}{dy}$$

La couche 001, d'où elles sont parties subit évidemment par réaction un effort égal et de signe contraire, soit

$$\tau = -\rho v' l \frac{d\bar{U}}{dy} \quad (2)$$

L'identité des équations (1) et (2) montre que cette équation est donc valable pour les deux types de particules.

La différence des vitesses longitudinales des deux plans 001, et PP₁ est alors

$$\bar{U} - \bar{U}_e = U' = l \frac{d\bar{U}}{dy}$$

Pour relier U' et v' , on applique le principe de continuité ou de conservation de la masse à un volume élémentaire du fluide ; en somme, s'agissant d'un fluide incompressible, les variations de flux dans la direction longitudinale (U') et dans la direction transversale (v') devant être égales, il faut bien que U' et v' soient du même ordre de grandeur.

Cela revient à dire qu'il existe entre U' et v' une corrélation statistique régulière, ce qui explique que le produit $\overline{U'v'}$ soit en moyenne constant en fonction du temps. Soit $\tau = \frac{1}{2} \overline{U'v'}$ la valeur moyenne qui en résulte pour la tension tangentielle due à la turbulence.

Von Karman admet donc que la composante transversale v' de la vitesse instantanée qui est provoquée par l'existence du gradient $1 \frac{d\bar{U}}{dy}$ a la même forme que lui c'est-à-dire que v' est aussi proportionnelle à $1 \frac{d\bar{U}}{dy}$; par suite, on peut écrire :

$$\tau = - \rho v' 1 \frac{d\bar{U}}{dy} = \rho_1^2 \left(\frac{\partial \bar{U}}{\partial y} \right)^2$$

Le facteur de proportionnalité étant inclus dans le paramètre 1 (longueur de mélange).

Cette expression :

$$\tau = \rho_1^2 \left(\frac{\partial \bar{U}}{\partial y} \right)^2 \quad (3)$$

constituent l'équation de Prandtl.

Pour aller plus loin, il serait nécessaire de relier 1 à l'écoulement moyen, seul intéressant dans la pratique car seul défini à partir des mesures expérimentales.

On peut le faire au moyen de certaines hypothèses dont la validité est appuyée sur l'expérience.

C'est en particulier ce qu'a fait Prandtl en supposant qu'au voisinage de la paroi la longueur de mélange est proportionnelle à la distance de la paroi :

$$1 = Ky \quad (4)$$

Les expériences de Nikuradse (1930), (cf [3]) sur des tuyaux lisses ont montré qu'assez près de la paroi ($y \leq 0.1 R$), on avait $1 = 0.4 y$. La constante K appelée encore constante de Von Karman, est aussi trouvé égal à 0.4 pour le cas des couches limites turbulentes.

CHAPITRE II

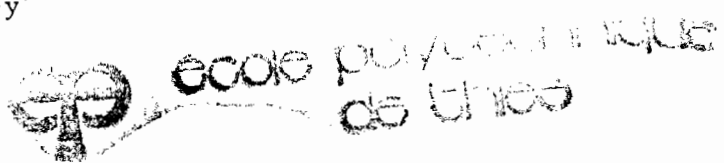
DETERMINATION DE LA LONGUEUR DE MELANGE

Comme nous avons déjà développé au chapitre II, l'équation de Prandtl s'écrit :

$$\tau = \frac{1}{2} (\frac{\partial \bar{u}}{\partial y})^2$$

De cette équation, on peut déduire pour la longueur de mélange :

$$l^2 = \frac{\tau}{\frac{1}{2} (\frac{\partial \bar{u}}{\partial y})^2}$$



$$l = \frac{\tau^{1/2}}{\frac{\partial \bar{u}}{\partial y}}$$

En introduisant u_e et δ dans la formule précédente, on obtient

$$l = \frac{u_e \sqrt{\frac{\tau}{\frac{1}{2} u_e^2}}}{\frac{u_e \partial(\bar{u}/u_e)}{\tau \partial(y/\delta)}}$$

En posant $\frac{1}{2} \frac{\tau}{u_e^2} = Cf$; $\frac{\bar{u}}{u_e} = UN$; $y/\delta = YN$

On peut écrire une nouvelle formule pour l .

$$l = \frac{u_e \sqrt{C_f/2}}{\frac{u_e}{\delta} \frac{\partial(u_N)}{\partial(y_N)}}$$

$$\text{et } \frac{l}{\delta} = \frac{\sqrt{C_f/2}}{\frac{\partial(u_N)}{\partial(y_N)}} \quad (5)$$

Il en résulte de l'expression (5) que la longueur de mélange peut-être déterminée à partir des mesures du frottement pariétal (C_f) et des dérivées premières du profil de vitesse ($\frac{\partial(u_N)}{\partial(y_N)}$).

Voyons brièvement comment le frottement pariétal C_f a été mesuré et comment la dérivée première $\frac{\partial(u_N)}{\partial(y_N)}$ est calculée.

II-1 Les mesures de C_f

[1]

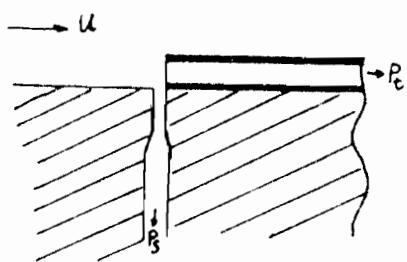
D'après la thèse de NGUYEN-DUY [1], le frottement pariétal a été déterminé par 3 méthodes principales :

- le tube de Preston (équations de V.C. Patel)
- la balance à élément flottant
- méthode de Dickinson

Les résultats de C_f et des profils de vitesse se trouvent à la page 27.

II 1-1 Le tube de Preston

Le tube de Preston a été utilisé pour la première fois par Preston lui-même. Cette méthode est l'une des plus simples pour déterminer le frottement pariétal τ_0 ; elle consiste à utiliser un pitot simple de section circulaire, de diamètre extérieur d posé sur la surface.



Preston a fait l'hypothèse suivante : la pression dynamique q^* (différence entre la pression totale et la pression statique locale enregistrée par le tube) dépend seulement de β , u , τ_0 , et d , et après une simple analyse dimensionnelle, il écrit :

Le tube de Preston:

$$\frac{\tau_0 \cdot d^2}{4 \beta u^2} = F \left(\frac{q^* \cdot d^2}{4 \beta u^2} \right) \quad (6)$$

Les essais expérimentaux effectués dans un tuyau de 2" de diamètre (soit 5 cm) avec des valeurs de τ_0 calculées à partir du gradient de pression statique longitudinal lui ont permis d'exprimer F par :

$$\log \frac{\tau_0 \cdot d^2}{4 u^2} = 1.396 + 0.875 \log \frac{q^* \cdot d^2}{4 \beta u^2} \quad (7)$$

Un complément à l'étude de Preston a été réalisé d'une manière assez complète en 1962 par V.C. Patel (Gf [4]) à Cambridge. En expliquant le désaccord entre les chercheurs principalement par les mesures non précises de τ_0 et l'effet de déplacement qui entraînent par la suite une dispersion des constantes trouvées et en les corrigeant, cet auteur a proposé de nouvelles formules pour le tube de Preston,

formules qui ont été confirmées récemment par Dickinson et Ozarapoglu (Cf [5]) avec des valeurs mesurées au moyen de la balance à élément flottant :

$$y^* = \frac{1}{2} x^* + 0.37$$

$$0 \leq x^* \leq 2.9.$$

$$y^* = 0.8287 - 0.1381 x^* + 0.1437 x^{*2} - 0.006 x^{*3} \quad 2.9 \leq x^* \leq 5.6 \quad (8)$$

$$y^* + 2 \log (1.95 y^* + 4.1) = x^* \quad 5.6 \leq x^* < 7.6$$

avec $y^* = \log \frac{\sigma_{\tau_0} d^2}{4 \beta V^2}$

$$x^* = \log \frac{q^* d^2}{4 \beta V^2}$$

Pour les écoulements avec gradient de pression longitudinal, Patel a suggéré qu'on peut utiliser le coefficient $\Delta = \frac{U_C}{U} \cdot \frac{dp}{dx}$ comme critère quant aux limites et erreurs possibles sur l'emploi du tube de Preston.

Gradient de pression adverse

erreur max 3 %

$$0 < \Delta < 0.01 \quad \frac{U_C \cdot d}{V} \leq 200$$

erreur max 6 %

$$0 < \Delta < 0.015 \quad \frac{U_C \cdot d}{V} \leq 250$$

Gradient de pression favorable

erreur max 3 %

$$0 > \Delta < -0.005 \quad \frac{U_C \cdot d}{V} \leq 0 ; \frac{d\Delta}{dx} < 0$$

erreur max 6 %

$$0 > \Delta > -0.007 \quad \frac{U_C \cdot d}{V} \leq 200 ; \frac{d\Delta}{dx} < 0$$

II - 1-2 La balance à élément flottant

Cette méthode consiste à "peser" directement le frottement pariétal en introduisant un élément de surface dans le plan de la paroi, de telle sorte qu'il puisse bouger librement dans la direction de l'écoulement sous l'effet des forces de frottement locales.

Le déplacement de l'élément flottant peut-être traduit par la force F qui agit sur ce dernier au moyen d'un étallonnage. On peut écrire :

$$\tau_0 = \frac{F}{S}$$

avec S étant la surface de l'élément flottant.

Bien que théoriquement simple, cette méthode présente des difficultés expérimentales à cause des faibles forces mises en jeu et surtout dans le cas du gradient de pression adverse. Pour de plus amples détails sur cette méthode, les lecteurs peuvent se référer aux références suivantes ; [1]; [6]; [7]; [8]; [9] ,

II - 1-3 La méthode de Dickinson

La loi déficitaire classique de la paroi s'écrit :

$$\frac{u_e - u}{u\tau} = h(y/\delta) \quad (9)$$

Townsend (Cf [1]) a proposé une forme de cette loi qui tient compte des conditions en amont :

$$\frac{u_e - u}{u\tau} = h(y/\delta)$$

$$\text{ou } \frac{u_e - u}{u\tau} = \frac{h(y/L)}{U\tau/U\tau_1} = \frac{h(y/L)}{g} \quad (10)$$

où L est une longueur arbitraire et $U\tau_1$ la vitesse de frottement correspondant à une position x_1 en amont, de x ; la fonction $g = \frac{U\tau}{U\tau_1}$ est indépendant de y et est reliée aux conditions en amont de la couche limite.

De l'équation (10) et de $\frac{u}{u_+} = A + B \log \frac{y u}{U}$, Dickinson a montré [7] que la loi de la paroi peut prendre la forme suivante :

$$U_+ = A(n) \cdot y_+^{1/n} \quad (11)$$

où n est l'exposant local de la loi en puissance.

$$n = \frac{d(\log y)}{d(\log u)} = \frac{u}{y} \cdot \frac{du}{dy} \quad (12)$$

ou

$$n = \frac{U_+}{y_+} \cdot \frac{du}{dy} +$$

et $A(n)$ est une fonction "universelle"

L'analyse des données expérimentales comprenant des mesures directes du frottement pariétal à partir d'une balance à élément flottant, a permis à Dickinson de formuler une expression linéaire de $A(n)$ pour des valeurs de $n > 7$:

$$A(n) = 0.9 (n + 1 - 10) \quad (13)$$

Par ailleurs, en égalant U_+ et sa première dérivée $\frac{du}{dy}$ dans les équations (11) et il a montré que quand les valeurs de n sont grandes, on peut écrire

$$A(n) = \frac{Cn}{e} + \frac{D}{e} \quad (14)$$

ce qui est en accord avec la forme expérimentale (13)

Comme l'équation de la sous-couche visqueuse $U_+ = y_+$ est un cas particulier de l'équation (11) qui implique $n = 1$ et $A(n) = 1$, Dickinson a par la suite utilisé les données expérimentales de Comte-Bellot pour compléter la formulation numérique de $A(n)$ qu'il écrit.

$$A(n) = \begin{cases} \frac{n \ln 10 - 1}{\ln 10 - 1} & 1 \leq n \leq 2.6 \\ -0.24 n^2 + 2.88 n - 2.03 & 2.6 \leq n \leq 4.4 \\ 0.9 (n + \ln 10) & 4.4 < n \end{cases}$$

Ainsi, l'expression de $A(n)$ fournit en liaison avec l'équation (11), une méthode "universelle" semi-empirique de détermination du frottement pariétal à partir des mesures de vitesse, précises, dans n'importe quelle partie de la région gouvernée par la loi générale à la paroi.

Les résultats obtenus avec ces trois méthodes sont très concordants (à $\pm 2\%$ près) ce qui démontre la précision de détermiantion du frottement pariétal.

II - 2. Calcul de $\frac{\partial(\text{UN})}{\partial(\text{YN})}$

Utilisant la méthode de Dickinson, Long(Cf [10]) a mis au point un programme en langage FORTRAN IV permettant de déterminer le frottement pariétal et plusieurs autres grandeurs concernant la couche limite au moyen de profil de vitesse moyenne. Il a essayé deux techniques de lissage numérique :

- (i) la représentation du profil de vitesse par une expression polynomiale d'ordre k

$$\text{UN} = c_1 + c_2 \text{ YN} + \dots + c_{k+1} \text{ Y}^k$$

$$\text{où } \text{UN} = \frac{u}{u_e} \quad \text{et} \quad \text{YN} = \frac{y}{\delta}$$

- (ii) La représentation du profil de vitesse par une expression exponentielle

$$\text{UN} = A + B \exp(C \text{ YN}) + D \exp(G \cdot \text{YN})$$

La technique de lissage exponentiel donne des résultats satisfaisants, mais son emploi exige la connaissance de cinq valeurs initiales de A, B, C, D, G, dont la détermination est souvent fastidieuse, de telle sorte qu'elles impliquent une convergence des solutions vers celles avec des erreurs moyennes plus petites.

Nous retenons dans notre étude, la technique de lissage exponentiel qui permet de lisser le profil mesuré par l'équation :

$$\bar{U}_N = P_1 + P_2 \exp(P_3 Y_N) + P_4 \exp(P_5 Y_N)$$

où P_1, P_2, P_3, P_4, P_5 sont des valeurs initiales ou arbitraires de A, B, C, D et G calculées directement dans le programme modifié de NGUYEN.

Nous ne décrirons pas ici les détails de cette technique qui sont déjà bien explicités dans la thèse de NGUYEN [1], seulement nous donnons quelques exemples dans les tables 67 et 83 pour montrer la précision obtenue de la méthode. Dans ces tableaux les valeurs lissées du profil de vitesse concordent avec celles mesurées et on remarque de l'erreur moyenne ne dépasse guère 1 % dans tous les cas.

Pour la technique de lissage exponentiel, la dérivée première $\frac{\partial(\bar{U}_N)}{\partial(Y_N)}$ se calcule donc simplement par la formule :

$$\frac{\partial(\bar{U}_N)}{\partial(Y_N)} = P_2 P_3 \exp(P_3 Y_N) + P_4 P_5 \exp(P_5 Y_N)$$

C O N C L U S I O N

Il ressort de notre étude que :

- (1) La longueur de mélange l peut bien prendre la forme $l = Ky$ au voisinage de la paroi ($y/\delta < 0.40$) comme suggéré par Prandtl.
- (2) La constante de Von Karman $k = 0.40$ est vérifiée pour toutes les stations. Ceci implique l'existence d'une loi universelle de la paroi.

*Technique
Aérodynamique*

ANNEXE

CONTRIBUTION AU PROGRAMME POUR DETERMINER LE FROTTEMENT PARIETAL PAR LA METHODE DE DICKINSON

1-Résumé de la méthode de Dickinson

On a vu que la loi de la paroi, d'après Dickinson [7], peut bien prendre la forme:

$$\frac{u}{U_\tau} = A(n) \left[\frac{y U_\tau}{\sqrt{\gamma}} \right]^{1/n} \quad (A.1)$$

$$\text{où } n = \frac{u}{y} \neq \frac{du}{dy} \quad (A.2)$$

$$\text{ou } n = \frac{d(\log y)}{d(\log u)} \quad (A.3)$$

et

$$A(n) = \begin{cases} \frac{n \log_e 10 - 1}{\log_e 10 - 1} & 1 \leq n \leq 2.6 \\ -.24n^2 + 2.88n - 2.03 & 2.6 < n < 4.4 \\ .9(n + \log_e 10) & 4.4 < n \end{cases} \quad (A.4)$$

L'équation (A.1) peut aussi s'écrire comme:

$$\frac{U_\tau}{U_e} = \left\{ \frac{u/U_e}{A(n) \left[\frac{y}{\delta} \cdot \frac{U_e \delta}{\sqrt{\gamma}} \right]^{1/n}} \right\}^{n/(n+1)} \quad (A.5)$$

La méthode de Dickinson consiste donc à déterminer l'exposant n de la façon la plus précise possible et par la suite à calculer U_τ au moyen de l'équation (A.5).

Dans son travail original, Dickinson a calculé n à l'aide des pentes des courbes de $\log y$ en fonction de $\log u$ (éqn.A.3). Ensuite, il a proposé de remplacer ces calculs fastidieux par des méthodes d'approximation numérique afin de trouver une meilleure expression analytique des profils de vitesse (cf. [10]) et la dérivée première de cette expression en fonction de y nous permettra de déterminer n (e.g. éqn.A.2).

2-Programme de Long [10] :

Utilisant la méthode de Dickinson, Long [10] a mis au point un programme en langage FORTRAN IV permettant de déterminer le frottement pariétal et plusieurs autres grandeurs concernant la couche limite au moyen du profil de vitesse moyenne. Deux méthodes d'approximation ont été essayées par ce dernier: la première consiste à représenter le profil de vitesse par une expression polynomiale d'ordre k:

$$U_N = C_1 + C_2 \cdot Y_N + \dots + C_{k+1} \cdot Y_N^k \quad (A.6)$$

où $U_N = \frac{u}{U_e}$ et $Y_N = \frac{y}{\delta}$

et la seconde par une expression exponentielle:

$$U_N = A + B \cdot \exp(C \cdot Y_N) + D \cdot \exp(E \cdot Y_N) \quad (A.7)$$

Il ressort de ses résultats que l'approximation exponentielle fournit des résultats satisfaisants, tandis que l'approximation polynomiale donne parfois des valeurs de n négatives à cause de la distortion des points expérimentaux du

profil de vitesse dans la région près de l'écoulement extérieur. De plus, la valeur estimée de U_τ varie avec le changement d'ordre du polynôme et on ne peut pas savoir "à priori" quel est le meilleur choix de k . C'est pour cette raison, l'auteur a présenté le programme avec la seule possibilité de faire l'approximation exponentielle (éqn. A.7) du profil normalisé de vitesse. Ce programme comprend un programme principal avec des sous-programmes

- * LSQFIT { pour faire l'approximation exponentielle
- * GSNEL { du profil normalisé de vitesse (UN vs YN)
- * DMFV : pour déterminer la valeur moyenne de U_τ , qui est constant jusqu'à 2.5% sur un nombre de points successifs M:

$$\frac{U_\tau = U_{TORM}}{U_e} = \frac{\sum_{I=PSN}^{PSN-M+1} (UTOR(I))}{M}$$

où IPSN désigne le premier point de la région sur laquelle les valeurs estimées de sont les plus concordantes.

- * AREA : pour effectuer l'intégration numérique par la méthode de trapèze.

3- Les modifications

L'emploi de la forme exponentielle exige la connaissance de cinq valeurs initiales de A, B, C, D et G, dont la détermination est souvent fastidieuse, de telle sorte qu'elles impliquent une

convergence des solutions vers celles avec des erreurs moyennes plus petites.

Toutefois, pour une configuration d'écoulement donnée, d'après les résultats de Long [40], les valeurs initiales trouvées sont en général les mêmes pour tous les profils de vitesse. Afin de rendre la détermination de ces valeurs plus vite, nous avons tout d'abord traduit les sous-programmes LSQFIT et GSNEL en langage A.P.L.-360. Ces derniers permettent de prendre chaque fois un profil de vitesse et essayer avec différentes valeurs initiales de A, B, C, D, G jusqu'à ce qu'une bonne approximation apparaisse (cf. table 107). Notons également que l'on ne peut pas prendre des valeurs initiales d'une manière quelconque pour essayer avec les nouveaux programmes A.P.L. mais on doit les choisir proches de celles déjà trouvées par Long [40] sur une gamme varié de configurations d'écoulement.

Dans notre cas, nous avons essayé avec le profil de vitesse de la station 6 (POS.1) et au bout de trois essais par tâtonnement, la convergence apparaît d'une manière surprenante pour des valeurs initiales $A = 1.0$, $B = -0.7$, $C = -1.35$, $D = -1.0$ et $G = -67$. Ces valeurs sont par la suite utilisées pour tous les autres profils (POS.1, 2, 3) et nous obtenons des résultats satisfaisants en ce qui concerne l'approximation exponentielle des profils complets de vitesse moyenne (cf. tables d'approximation 65 à 82). Nous avons aussi utilisé ce procédé pour les profils partiels effectués au voisinage de la paroi, mais en général l'approximation n'est pas du tout satisfaisante.

Par conséquent, nous avons amélioré le programme existant en y ajoutant:

(1) Une nouvelle partie dans le programme principal qui calcule directement les valeurs initiales en ce qui concerne l'approximation des profils partiels de vitesse par:

$$UN = P1 + P2 \cdot \exp(P3 \cdot YN) + P4 \cdot \exp(P5 \cdot YN)$$

où $P1, P2, P3, P4$ et $P5$ sont des valeurs initiales ou arbitraires de A, B, C, D et G .

Description générale de la méthode (cf. [13]):

- On suppose initialement:

$$\overline{UN}_1 = 1.0 + P2 \cdot \exp(P3 \cdot YN)$$

et on résoud $P2$ et $P3$ en faisant passer cette courbe par l'avant-dernier point $KN1 = KNT - 1$ (KNT : nombre total des points expérimentaux) et le point au milieu du profil $KN2 = KNT/2$.

- Ensuite on pose:

$$\overline{UN}_2 = 1.0 + P2 \cdot \exp(P3 \cdot YN) + P4 \cdot \exp(P5 \cdot YN)$$

et on calcule $P4$ et $P5$ de telle sorte que la courbe passe par deux points $1 = ?$ très proche de la paroi et $1 = KN3 = KNT/4$ relativement près de la paroi.

- La correction finale pour la valeur de $P1$ en la soustrayant de l'erreur moyenne:

$$P1 = 1.0 - \sum_{I=1}^{KNT} [\overline{UN}_2 - UN(I)] / KNT$$

(11) Deux sous-programmes LSQPOL et GSNPO (déjà utilisés par Long [10]) qui font l'approximation de deux variables

$\log Y_N$ en fonction de $\log U_N$ par un polynôme d'ordre k (éqn.A.6), au lieu du profil de vitesse U_N vs Y_N .

Description générale de la méthode (cf. [10]):

- On fait l'approximation de n points (x_1, y_1) par:

$$y_1 = c_1 + c_2 \cdot x_1 + c_3 \cdot (x_1)^2 + \dots + c_{k+1} \cdot (x_1)^k$$

- Première étape: Formation des équations résiduelles pour la méthode des moindres carrés sous forme matricielle:

$$\begin{bmatrix} n & \sum x_1 & \sum (x_1)^2 & \dots & \sum (x_1)^k \\ \sum x_1 & \sum (x_1)^2 & \sum (x_1)^3 & \dots & \sum (x_1)^{k+1} \\ \vdots & & & & \\ \sum (x_1)^k & \sum (x_1)^{k+1} & \sum (x_1)^{k+2} & \dots & \sum (x_1)^{k+k} \end{bmatrix} \begin{bmatrix} c_1 \\ c_2 \\ \vdots \\ c_k \end{bmatrix} = \begin{bmatrix} \sum y_1 \\ \sum x_1 y_1 \\ \vdots \\ \sum (x_1)^k y_1 \end{bmatrix}$$

- Deuxième étape: Solution des coefficients c_1, c_2, \dots, c_k par la méthode d'élimination de Gauss-Jordan (sous-programme GSNPO).

(III) Un sous-programme SPLINE qui donne comme résultats finals la dérivée première pour différentes entrées:

$$\begin{array}{lll} - \log Y_N & \text{vs} & \log U_N \\ \text{ou} & - U_N & \text{vs} \quad Y_N. \end{array}$$

Ce programme a été mis au point par Benson [14], qui utilise la méthode de Landis & Nilson [15] dont nous ne donnons ici qu'une description générale:

- On fait l'approximation de n points $(x(1), y(1))$ avec

$0 \leq i \leq n$ au moyen d'une fonction d'interpolation suivante:

$$P(x) = P_i(x), \quad x(0) \leq x \leq x(1)$$

\vdots

$$P(n, x) \quad x(n-1) \leq x \leq x(n)$$

où $P_i(x)$ sont des polynômes d'ordre 3 dont les coefficients ont été choisis de telle sorte que la première et la seconde dérivée soient continues aux points de jonction des polynômes.

- On peut aussi interpoler, par le même procédé, les ordonnées y correspondant aux différentes abscisses x précises.

(iv) Un nouveau sous-programme AREA qui calcule les intégrales par la méthode de Simpson pour les incrémentés d'abscisses (dx) inégaux.

Le programme modifié ainsi comprend un programme principal et des sous-programmes: LSQFIT, GSNEL, LGQPOL, GSNPO, SPLINE, DMFV et AREA.

NOTE: En ce qui concerne le listing du programme, le lecteur pourra se référer à la référence [1]

B I B L I O G R A P H I E

- [1] V. NGUYEN-DUY "Mesures dans une couche limite turbulente avec gradients de pression adverses modérés". Thèse de maîtrise, Univ Laval, Québec. 1972 .
- [2] H. SCHLICHTING "Boundary Layer Theory" 4ième édition Mc.GRAW-HILL 1970, P. 475
- [3] NIKURADSE Voir Schliehting (2), P. 502.
- [4] V.C. PATEL "Calibration of the Preston Tube and Limitation on its use in pressure gradients" J. Fluid Mech., Part I P.P. 185-208, 1965.
- [5] J. DICKINSON
V. OZARAPOGLU "The Determination of Skin Friction"
D.R.B. Progress Report, Grand
Nº 9550-23
Univ - Laval, Oct. 1968.

- [6] V. NGUYEN-DUY "Quelques contributions à l'étude de la détermination du frottement pariétal". Thèse de doctorat ès Science. Univ. Laval, Québec 1976 P.P. 9-30.
- [7] J. DICKINSON "The Determination of Skin Friction in two Dimensional Turbulent Flows" Thèse de Doctorat, Univ. Laval, Québec, 1965
- [8] J. DICKINSON et V. OZARAPOGLU "The Determination of turbulent Skin Skin friction" Déf. Res. Board of Cacada, Progress Report, Grant № 9550-23 Univ. Laval, Oct. 1968.
- [9] K.G. WINTER "An Outline of the Techniques Available for the Measurements of Skin Friction in Turbulent Boundary Layers" RAE - TM - 1656, Déc. 1976.
Cours donnés à Von Karman Institute (Bruxelles).

[10] LONG TRAN - BUU

"The Determination of Turbulent Skin Friction".

Thèse de Maîtrise Univ. Laval.
Québec 1970.

[11] A.A. TOWNSEND

"Turbulent Friction on a flat plate"
Skipsmodelltankens, moddeletse, № 32
mars 1954

[12] B. H. MAHAN

"Chimie" Editions du renouveau pédagogique Inc. 2ième édition P.P. 74 - 77.

[13] V. OZARAPOGLU
V. NGUYEN-DUY
J. DICKINSON

"The Determination of Turbulent Skin Friction" D.R.B. Progress Report,
Frant № 9550-23 Nov. 1971.

[14] G.C. BENSON

Spline-fit program (Fortran IV)
N.R.C. T.S.S User's Manual
(communication personnelle)

[15] F. LANDIS

"The Determination of Thermodynamic Properties by Direct Differentiation Techniques" Progress in International Research on Thermodynamic and Transport Properties, 1962
A.S.M.E. Symposium.

Notes: les références [11], [14], et [15] sont donnés ici seulement à titre d'indication, elles n'ont pas été utilisées pour ce projet.

RESULTATS DES MESURES

Dans les tables de la page 27 à la page 34, nous trouvons :

- les valeurs du frottement pariétal C_f
- les valeurs de $Y_N = y/\delta$
- les valeurs de
- les valeurs de U_e
- les valeurs initiales et finales de A, B, C, D, G .

CALCULATION OF SKIN FRICTION - INCOMPRESSIBLE FLOWS

STATION 2 POS.1 PITOT VENH

AMBIENT TEMPERATURE	=	DEGREES R
AMBIENT PRESSURE	=	INS HG
DENSITY	=	SLUGS/FT ³
KINEMATIC VISCOSITY	=	FT ² /SEC
PITOT TUBE HEIGHT	=	0.0320 INS
DISPLACEMENT FACTOR	=	0.150
BOUNDARY LAYER THICKNESS = DELTA	=	1.6560 INS
DISPLACEMENT THICKNESS = DELTA*	=	0.7244 INS
MOMENTUM THICKNESS = THETA	=	0.1581 INS
ENERGY THICKNESS = DELTA**	=	0.273 INS
H = DELTA*/THETA	=	1.42
REYNOLDS NUMBER BASED ON THETA	=	6520.
FRICITION VELOCITY	=	2.8860 FT/SEC
FRICITION COEFFICIENT	=	0.00234
FREE STREAM VELOCITY	=	84.4 FT/SEC

COMMAND CARDS:

INITIAL PARAMETERS =

P11 = 1.0000 P22 = -0.7000 P33 = -1.3500 P44 = -1.0000 P55 = -67.0000

FINAL PARAMETERS =

P1 = 1.0144 P2 = -0.5306 P3 = -3.5149 P4 = -0.1098 P5 = -67.2678

MEAN ERROR = 0.004189

N = 5

K1 = 0 K2 = 0 K3 = 0 K4 = 1 K5 = 1 PITOT = 0.01200 ALPHA = 0.150

VC = 0.00017050

DELTA = 1.656 DIST = 0.0 REY = 0.0 C1 = . 68308.75 C2 = 1.0

UE = 84.40 UTOP = 0.0 PTE = 0.0 PSE = 0.0 CV = 0.0

CALCULATION OF SKIN FRICTION - INCOMPRESSIBLE FLOWS

STATION 2 POS.1 PITOT VENH

Y1	U1	Y2	U2	UN	UNS	N	A	UTOP	UTOPN	UN*	LOGY*	UN**	LOGY**	SLOPE
0.0160	39.0924	0.0126	0.463	0.456	7.40	8.73	0.0332	0.9721	13.45	1.467	15.70	-0.88	4.912	
0.0200	32.1773	0.0150	0.464	0.468	7.00	9.37	0.0337	0.9853	13.57	1.544	15.67	-0.80	4.461	
0.0250	40.2646	0.0180	0.477	0.481	6.71	9.11	0.0340	0.9934	13.95	1.624	15.29	-0.72	3.981	
0.0300	41.6437	0.0210	0.493	0.492	6.54	7.96	0.0341	0.9971	14.43	1.691	14.81	-0.66	3.580	
0.0400	42.7450	0.0271	0.506	0.512	6.18	7.81	0.0342	0.9926	14.91	1.801	14.43	-0.55	2.964	
0.0500	44.9447	0.0311	0.533	0.528	6.30	7.75	0.0342	1.0002	15.47	1.889	13.67	-0.46	2.531	
0.0600	45.6996	0.0391	0.541	0.542	6.23	7.68	0.0342	1.0005	15.93	1.901	13.41	-0.39	2.223	
0.0700	47.2402	0.0452	0.560	0.555	6.14	7.60	0.0342	1.0003	16.19	2.023	12.86	-0.32	2.002	
0.0800	47.7474	0.0512	0.566	0.567	6.02	7.49	0.0342	0.9994	16.54	2.075	12.70	-0.27	1.840	
0.1000	50.0806	0.0631	0.593	0.587	5.71	7.21	0.0340	0.9942	17.35	2.170	11.89	-0.18	1.626	
0.1500	55.7654	0.0935	0.637	0.632	4.96	6.54	0.0329	0.9622	18.61	2.139	10.61	-0.01	1.363	
0.2000	56.5072	0.1217	0.670	0.671	4.48	6.10	0.0316	0.9235	19.53	2.461	9.66	0.11	1.211	
0.2500	59.2406	0.1519	0.702	0.705	4.22	5.85	0.0307	0.8073	20.51	2.556	8.71	0.21	1.088	
0.3000	61.8610	0.1841	0.731	0.737	4.10	5.74	0.0301	0.8110	21.43	2.613	7.81	0.29	0.977	
0.3500	64.2031	0.2141	0.761	0.765	4.06	5.71	0.0300	0.8761	22.25	2.690	7.00	0.35	0.878	
0.4000	66.4599	0.2444	0.797	0.790	4.09	5.73	0.0301	0.8802	23.03	2.757	6.21	0.41	0.790	
0.5000	69.6328	0.3048	0.827	0.833	4.28	5.90	0.0311	0.9089	24.20	2.853	5.05	0.50	0.639	
0.6000	73.1219	0.3652	0.866	0.867	4.60	6.21	0.0325	0.9513	25.14	2.931	3.91	0.58	0.517	
0.7000	75.4226	0.4256	0.894	0.896	5.04	6.60	0.0344	1.0050	26.13	2.957	3.11	0.65	0.418	
0.8000	77.7946	0.4840	0.918	0.919	5.59	7.10	0.0343	1.0625	26.94	3.056	2.24	0.71	0.338	
0.9000	79.6167	0.5444	0.943	0.937	6.27	7.72	0.0341	1.1153	27.59	3.106	1.66	0.76	0.273	
1.0000	81.1337	0.6049	0.962	0.952	7.00	8.46	0.0346	1.1567	24.13	3.151	1.11	0.80	0.221	
1.1000	81.8564	0.6671	0.970	0.964	8.08	9.34	0.0346	1.1803	26.16	3.193	0.88	0.84	0.174	
1.2000	82.4713	0.7275	0.977	0.973	9.25	10.40	0.0411	1.2009	28.54	3.230	0.67	0.88	0.145	
1.4000	82.9805	0.8483	0.987	0.987	12.31	13.15	0.0400	1.1701	28.75	3.297	0.49	0.95	0.095	
1.5000	83.3173	0.9087	0.987	0.993	14.78	14.93	0.0406	1.1270	28.87	3.327	0.37	0.98	0.074	
1.6000	83.4892	0.9691	0.989	0.997	16.63	17.04	0.0366	1.0707	28.93	3.355	0.31	1.01	0.062	

Table 9

CALCULATION OF SKIN FRICTION - INCOMPRESSIBLE FLOWS

STATION 2 PCS.1 PITOT VINH

AMBIENT TEMPERATURE		DEGREES R
AMBIENT PRESSURE		14.740
DENSITY		SUGGS/FT ³
KINEMATIC VISCOSITY	0.00017258	FT ² /SEC
PITOT TUBE HEIGHT	0.0320	INS
DISPLACEMENT FACTOR	0.150	
BOUNDARY LAYER THICKNESS = DELTA	1.8200	INS
DISPLACEMENT THICKNESS = DELTA [*]	0.2743	INS
MOMENTUM THICKNESS = THETA	0.1662	INS
LAWLEY THICKNESS = DELTA ^{**}	0.322	INS
H = DELTA [*] /THETA	1.40	
REYNOLDS NUMBER BASED ON THETA	7421.	
FRICTION VELOCITY	2.6540	FT/SEC
FRICTION COEFFICIENT	0.00212	
FREE STREAM VELOCITY	81.7	FT/SEC

COMMAND CARDS

INITIAL PARAMETERS =

P11 = 1.0000 P22 = -0.7000 P33 = -1.3000 P44 = -1.0000 P55 = -67.0000

FINAL PARAMETERS =

P1 = 1.0300 P2 = -0.5755 P3 = -3.1007 P4 = -0.1514 P5 = -57.4647

MEAN ERROR = 0.004721

M = 5

K1 = C K2 = 0 K3 = 0 K4 = 1 K5 = 1 PITOT = 0.03200 ALPHA = 0.150

VC = 0.00017258

DELTA = 1.8200 UIST = 0.0 REY = 0.0 C1 = 71774.88 C2 = 1.0

UE = 81.67 UTUR = 0.0 PTE = 0.0 PSE = 0.0 CV = 0.0

CALCULATION OF SKIN FRICTION - INCOMPRESSIBLE FLOWS

STATION 3 PCS.1 PITOT VINH

YI	LI	YN	UN	URS	H	A	UTUR	UTURN	UNE	LUGY*	UNSE	LUGY**	SLOPE
0.0100	35.1557	0.66114	0.425	0.00	7.17	0.0331	1.0176	13.24	1.420	17.91	-0.96	0.571	
0.0200	25.2565	0.6136	0.432	0.418	5.74	2.22	0.0331	1.0166	11.27	1.503	17.48	-0.88	0.625
0.0250	26.0215	0.6104	0.451	0.452	5.07	7.37	0.0330	1.0141	13.47	1.582	16.88	-0.80	0.601
0.0300	27.5104	0.6191	0.460	0.464	4.11	7.57	0.0327	1.0101	14.78	1.630	16.47	-0.73	0.574
0.0400	31.3246	0.486	0.481	0.525	7.97	0.0327	1.0041	14.47	1.750	15.80	-0.62	0.470	
0.0500	40.7867	0.6001	0.493	0.498	6.89	4.24	0.0325	0.9992	15.30	1.847	15.39	-0.54	0.413
0.0600	41.4551	0.6330	0.511	0.510	6.76	8.31	0.0324	0.9975	15.70	1.920	15.05	-0.46	0.360
0.0700	43.5537	0.6400	0.533	0.531	6.00	8.04	0.0325	1.0001	16.40	2.020	14.35	-0.35	0.304
0.1000	46.3287	0.5576	0.555	0.548	6.15	7.61	0.0325	0.9991	17.07	2.12d	13.68	-0.25	0.259
0.2000	50.7850	0.1125	0.622	0.624	4.96	0.03	0.0298	0.9150	17.12	2.419	11.03	-0.04	1.261
0.3000	55.5173	0.1075	0.601	0.608	3.07	5.52	0.0270	0.8533	20.93	2.552	9.82	0.21	1.003
0.4000	56.5911	0.2224	0.734	0.742	3.17	5.37	0.0271	0.8324	22.39	2.715	8.16	0.33	0.846
0.5000	61.0076	0.3323	0.822	0.825	3.10	5.35	0.0260	0.8015	25.23	2.890	5.52	0.51	0.637
0.6000	62.9151	0.4422	0.861	0.884	4.04	6.05	0.0308	0.7940	27.31	3.014	3.44	0.63	0.493
1.0000	70.4560	0.5521	0.937	0.927	5.22	6.77	0.0343	1.0558	28.88	3.110	1.87	0.73	0.322
1.2000	76.7257	0.6626	0.964	0.944	6.44	7.76	0.0377	1.1585	29.65	3.189	1.10	0.81	0.229
1.4000	76.5273	0.7719	0.976	0.976	9.04	0.0400	1.2313	30.09	3.230	0.66	0.87	0.163	
1.6000	80.5317	0.916	0.951	1.004	12.33	13.17	0.0400	1.2295	30.47	3.364	0.28	0.98	0.082

Table 10

CALCULATION OF SKIN FRICTION - INCOMPRESSIBLE FLOWS

STATION 4 POS.1 PITOT VINH

AMBIENT TEMPERATURE	=	DEGREES R
AMBIENT PRESSURE	=	INS HG
DENSITY	=	SLUGS/FT ³
KINEMATIC VISCOSITY	=	0.00016500 FT ² /SEC
PITOT TUBE HEIGHT	=	0.0320 INS
DISPLACEMENT FACTOR	=	0.150
BOUNDARY LAYER THICKNESS = DELTA	=	1.9770 INS
DISPLACEMENT THICKNESS = DELTA*	=	0.3138 INS
MOMENTUM THICKNESS = THETA	=	0.2124 INS
ENERGY THICKNESS = DELTA**	=	0.362 INS
H = DELTA*/THETA	=	1.48
REYNOLDS NUMBER BASED ON THETA	=	8430.
FRICITION VELOCITY	=	2.4634 FT/SEC
FRICITION COEFFICIENT	=	0.00196
FREE STREAM VELOCITY	=	78.6 FT/SEC

COMMAND CARDS:

INITIAL PARAMETERS =

P11 = 1.0000 P22 = -0.7000 P33 = -1.3500 P44 = -1.0000 P55 = -67.0000

FINAL PARAMETERS =

P1 = 1.0325 P2 = -0.5535 P3 = -3.0110 P4 = -0.2222 P5 = -116.9707

MEAN ERROR = 0.00564

N = 5

K1 = 0 K2 = 0 K3 = 0 K4 = 1 K5 = 1 PITOT = 0.03200 ALPHA = 0.150

VC = 0.00016500

DELTA = 1.977 DIST = 0.0 REY = 0.0 CL = 78480.88 C2 = 1.0

UE = 78.60 UTOP1 = 0.0 PTE = 0.0 PSE = 0.0 CV = 0.0

CALCULATION OF SKIN FRICTION - INCOMPRESSIBLE FLOWS

STATION 4 POS.1 PITOT VINH

YI	UI	YN	UN	UNS	N	A	UTOR	UTORN	UN*	LOGY*	UN**	LOGY**	SLOPE
0.0160	31.3098	0.0105	0.398	0.393	4.00	5.65	0.0309	0.9964	12.71	1.413	19.20	-1.01	0.325
0.0200	31.6214	0.0125	0.402	0.410	4.24	5.86	0.0311	0.9938	12.84	1.499	19.07	-0.93	7.712
0.0250	31.3319	0.0151	0.424	0.427	4.60	6.21	0.0313	1.0002	13.53	1.569	18.38	-0.85	6.165
0.0300	34.6772	0.0176	0.441	0.441	5.00	6.57	0.0316	1.0069	14.08	1.636	17.83	-0.79	5.011
0.0350	35.6071	0.0201	0.453	0.453	5.42	6.95	0.0317	1.0099	14.45	1.695	17.45	-0.73	4.149
0.0400	36.4236	0.0227	0.461	0.462	5.82	7.31	0.0316	1.0098	14.79	1.746	17.12	-0.68	3.504
0.0450	37.0443	0.0252	0.471	0.471	6.18	7.64	0.0316	1.0076	15.04	1.792	16.87	-0.63	3.022
0.0500	37.4847	0.0277	0.477	0.478	6.48	7.91	0.0315	1.0046	15.22	1.834	16.60	-0.59	2.660
0.0550	38.2600	0.0302	0.487	0.484	6.71	8.11	0.0314	1.0018	15.54	1.872	16.37	-0.55	2.387
0.0600	38.5321	0.0328	0.490	0.490	6.85	8.24	0.0311	0.9998	15.64	1.906	16.27	-0.52	2.188
0.0700	39.4061	0.0378	0.501	0.500	6.94	8.32	0.0311	0.9987	16.00	1.949	15.91	-0.45	1.900
0.0800	40.2337	0.0425	0.512	0.509	6.81	8.21	0.0313	0.9999	16.13	2.021	15.57	-0.40	1.741
0.0900	40.7432	0.0480	0.513	0.518	6.58	7.99	0.0314	1.0011	16.54	2.072	15.37	-0.35	1.644
0.1000	41.7912	0.0531	0.532	0.526	6.30	7.74	0.0314	1.0006	16.96	2.115	14.94	-0.31	1.570
0.1500	44.6471	0.0743	0.584	0.564	5.09	6.65	0.0303	0.9677	18.12	2.259	13.74	-0.14	1.411
0.2000	46.8296	0.1038	0.596	0.598	4.41	6.04	0.0287	0.9172	19.01	2.406	12.90	-0.02	1.309
0.3000	51.1844	0.1542	0.451	0.659	3.81	5.46	0.0265	0.8467	20.74	2.579	11.13	0.16	1.122
0.4000	55.1056	0.2048	0.701	0.712	3.60	5.23	0.0256	0.8173	22.37	2.702	9.54	0.28	0.96
0.5000	58.5706	0.2593	0.749	0.757	3.58	5.20	0.0255	0.8134	23.70	2.798	8.13	0.38	0.628
0.7000	64.9139	0.3564	0.824	0.830	3.81	5.46	0.0267	0.9535	26.35	2.943	4.56	0.52	0.61
0.9000	69.7097	0.4577	0.897	0.883	4.28	5.90	0.0294	0.9349	28.10	3.051	3.61	0.63	0.45
1.0000	71.8109	0.5082	0.914	0.904	4.60	6.21	0.0310	0.9876	29.15	3.097	2.76	0.68	0.38
1.1000	71.2741	0.5588	0.932	0.922	4.97	6.54	0.0326	1.0414	29.74	3.138	2.16	0.72	0.33
1.2000	74.5712	0.6004	0.949	0.938	5.39	6.93	0.0343	1.0449	30.27	3.176	1.64	0.75	0.28
1.3000	75.4975	0.6600	0.961	0.951	5.88	7.37	0.0359	1.1457	30.73	3.210	1.18	0.79	0.24
1.4000	76.0534	0.7106	0.968	0.963	6.44	7.87	0.0373	1.1917	30.87	3.242	1.03	0.82	0.21
1.5000	76.5851	0.7612	0.974	0.973	7.07	8.44	0.0386	1.2307	31.09	3.272	0.82	0.85	0.18
1.6000	76.8564	0.8117	0.979	0.981	7.74	9.08	0.0405	1.2610	31.20	3.300	0.71	0.88	0.15
1.7000	77.1221	0.8623	0.981	0.988	8.60	9.82	0.0402	1.2814	31.31	3.327	0.60	0.90	0.13
1.8000	77.5654	0.9129	0.987	0.995	9.52	10.64	0.0405	1.2908	31.49	3.351	0.42	0.93	0.11
1.9000	77.6539	0.9635	0.998	1.000	10.46	11.58	0.0404	1.2990	31.52	3.375	0.38	0.95	0.09

Table 11

CALCULATION OF SKIN FRICTION - INCOMPRESSIBLE FLOWS

STATION 5 POS.1 PITOT VINH

AMBIENT TEMPERATURE	=	DGREES R
AMBIENT PRESSURE	=	INS HG
DENSITY	=	SLUGS/FT ³
KINEMATIC VISCOSITY	=	0.00016080 FT ² /SEC
PITOT TUBE HEIGHT	=	0.0320 INS
DISPLACEMENT FACTOR	=	0.150
BOUNDARY LAYER THICKNESS = DELTA	=	2.1070 INS
DISPLACEMENT THICKNESS = DELTA*	=	0.3656 INS
MOMENTUM THICKNESS = THETA	=	0.2434 INS
ENERGY THICKNESS = DELTA**	=	0.413 INS
H = DELTA*/THETA	=	1.50
REYNOLDS NUMBER BASED ON THETA	=	9497.
FRICTION VELOCITY	=	7.2483 FT/SEC
FRICTION COEFFICIENT	=	0.00182
FREE STREAM VELOCITY	=	75.3 FT/SEC

COMMAND CARDS:

INITIAL PARAMETERS =

P11 = 1.0000 P22 = -0.7000 P33 = -1.3900 P44 = -1.0000 P55 = -67.0000

FINAL PARAMETERS =

P1 = 1.0439 P2 = -0.6174 P3 = -2.7060 P4 = -0.1665 P5 = -84.7839

MEAN ERROR = 0.006228

M = 5

K1 = 0 K2 = 0 K3 = 0 K4 = 1 K5 = 1 PITOT = 0.03200 ALPHA = 0.150

VC = 0.00016080

DELTA = 2.107 DIST = 0.0 REY = 0.0 C1 = 82208.50 C2 = 1.0

UE = 75.29 UTOR1 = 0.0 PTE = 0.0 PSF = 0.0 CV = 0.0

CALCULATION OF SKIN FRICTION - INCOMPRESSIBLE FLOWS

STATION 5 POS.1 PITOT VINH

Y1	UI	YN	UN	UNS	N	A	UTOR	UTORN	UN*	LOG Y*	UN**	LOG Y**	SLOPE
0.0160	28.6322	0.0095	0.380	0.371	4.85	6.44	0.0298	0.9905	12.62	1.388	20.57	-1.07	7.740
0.0200	28.7430	0.0118	0.382	0.384	4.79	6.38	0.0298	0.9905	12.67	1.465	20.52	-0.99	6.823
0.0250	29.118	0.0141	0.388	0.390	4.82	6.41	0.0299	0.9908	12.87	1.544	20.33	-0.91	5.864
0.0300	30.8740	0.0165	0.410	0.412	4.92	6.50	0.0299	0.9920	13.61	1.612	19.59	-0.84	5.078
0.0350	31.6972	0.0189	0.421	0.424	5.06	6.63	0.0299	0.9937	13.97	1.670	19.22	-0.79	4.434
0.0400	32.7905	0.0213	0.436	0.434	5.22	6.77	0.0300	0.9955	14.46	1.722	18.74	-0.74	3.705
0.0450	33.5724	0.0237	0.446	0.442	5.39	6.92	0.0300	0.9971	14.80	1.767	14.37	-0.69	3.471
0.0500	33.5563	0.0260	0.451	0.450	5.56	7.07	0.0301	0.9983	14.97	1.809	14.22	-0.65	3.114
0.0550	34.3328	0.0284	0.456	0.457	5.71	7.21	0.0301	0.9991	15.14	1.847	14.06	-0.61	2.820
0.0600	34.5420	0.0308	0.464	0.463	5.85	7.33	0.0301	0.9997	15.40	1.882	17.79	-0.57	2.574
0.0700	36.1416	0.0355	0.480	0.475	7.04	7.51	0.0301	1.0002	15.93	1.944	17.26	-0.51	2.214
0.0800	36.9503	0.0402	0.491	0.485	6.13	7.59	0.0301	1.0005	16.29	1.999	16.90	-0.46	1.954
0.0900	37.1914	0.0450	0.497	0.494	6.13	7.59	0.0301	1.0005	16.49	2.047	16.71	-0.41	1.790
0.1000	38.0414	0.0497	0.506	0.502	6.05	7.51	0.0301	0.9998	16.79	2.091	16.40	-0.37	1.668
0.1500	40.8916	0.0735	0.543	0.537	5.24	6.78	0.0294	0.9774	18.03	2.260	15.16	-0.20	1.397
0.2000	42.9126	0.0972	0.570	0.569	4.55	6.16	0.0281	0.9318	18.92	2.382	14.27	-0.07	1.288
0.3000	46.4010	0.1447	0.616	0.626	3.83	5.48	0.1257	0.8524	20.46	2.554	12.73	0.10	1.130
0.4000	49.7846	0.1921	0.661	0.677	3.55	5.16	0.0244	0.8110	21.95	2.677	11.24	0.22	0.993
0.5000	53.0734	0.2196	0.705	0.721	3.44	5.04	0.0239	0.7966	23.41	2.773	9.78	0.32	0.874
0.7000	59.1386	0.3145	0.786	0.794	3.51	5.13	0.0243	0.8072	26.07	2.918	7.12	0.46	0.676
0.9000	64.2137	0.4294	0.843	0.841	3.79	5.44	0.0250	0.8503	28.31	3.027	4.88	0.57	0.523
1.0000	66.1125	0.4769	0.882	0.874	3.99	5.64	0.0270	0.8968	29.27	3.072	3.93	0.62	0.460
1.1000	68.0012	0.5243	0.903	0.894	4.22	5.85	0.0284	0.9415	29.98	3.114	3.71	0.66	0.404
1.2000	69.5190	0.5718	0.923	0.912	4.49	6.11	0.0297	0.9869	30.65	3.151	2.54	0.69	0.356
1.3000	70.7498	0.6193	0.940	0.928	4.79	6.39	0.0312	1.0366	31.21	3.186	1.98	0.73	0.313
1.4000	71.7434	0.6667	0.953	0.942	5.14	6.70	0.0327	1.0866	31.53	3.218	1.56	0.76	0.275
1.5000	72.1746	0.7142	0.961	0.955	5.51	7.05	0.0342	1.1354	31.91	3.248	1.28	0.79	0.242
1.6000	72.8391	0.7617	0.967	0.965	5.96	7.43	0.0356	1.1916	32.11	3.276	1.08	0.82	0.213
1.7000	73.3436	0.8091	0.974	0.975	6.44	7.87	0.0369	1.2237	32.33	3.302	0.86	0.85	0.147
1.8000	73.8010	0.8566	0.980	0.983	6.98	8.35	0.0380	1.2706	32.54	3.327	0.66	0.87	0.145
1.9000	74.1191	0.9040	0.984	0.990	7.57	8.89	0.0389	1.2911	32.68	3.350	0.51	0.89	0.145
2.0000	74.3023	0.9515	0.987	0.997	8.23	9.48	0.0396	1.3144	32.76	3.372	0.43	0.92	0.127
2.1000	74.5258	0.9990	0.990	1.003	8.97	10.14	0.0401	1.3296	32.86	3.393	0.34	0.94	0.112

Table 13

CALCULATION OF SKIN FRICTION - INCOMPRESSIBLE FLOWS

STATION 6 POS.1 PITOT VNH

AMBIENT TEMPERATURE	=	DEGREES R
AMBIENT PRESSURE	=	INS HG
DENSITY	=	SLUGS/FT ³
KINEMATIC VISCOSITY	=	0.00016120 FT ² /SEC
PITOT TUBE HEIGHT	=	0.0320 INS
DISPLACEMENT FACTOR	=	0.150
BOUNDARY LAYER THICKNESS = DELTA	=	2.7250 INS
DISPLACEMENT THICKNESS = DELTA*	=	0.4180 INS
MOMENTUM THICKNESS = THETA	=	0.2749 INS
ENERGY THICKNESS = DELTA**	=	0.465 INS
H = DELTA*/THETA	=	1.52
REYNOLDS NUMBER BASED ON THETA	=	10515.
FRICITION VELOCITY	=	2.1997 FT/SEC
FRICITION COEFFICIENT	=	0.00177
FREE STREAM VELOCITY	=	74.0 FT/SEC

COMMAND CARDS

INITIAL PARAMETERS =

P11 = 1.0000 P22 = -0.7000 P33 = -1.3500 P44 = -1.0000 P55 = -67.0000

FINAL PARAMETERS =

P1 = 1.0691 P2 = -0.6480 P3 = -2.3130 P4 = -0.2238 P5 = -113.2028

MEAN ERROR = 0.006127

N = 5

K1 = 0 K2 = 0 K3 = 0 K4 = 1 K5 = 1 PITOT = 0.03200 ALPHA = 0.150

VC = 0.00016120

DELTA = 2.725 DIST = 0.0 REY = 0.0 C1 = 85116.81 C2 = 1.0

UE = 74.00 UTORI = 0.0 PTE = 0.0 PSE = 0.0 CV = 0.0

CALCULATION OF SKIN FRICTION - INCOMPRESSIBLE FLOWS

STATION 6 POS.1 PITOT VNH

YI	UI	YN	UN	UNS	N	A	UTOR	UTORN	UN*	LOGY*	UN**	LOGY**	SLOPE
0.0160	26.7058	0.0093	0.361	0.357	3.73	5.37	0.0287	0.9666	12.14	1.374	21.50	-1.12	10.260
0.0200	27.2954	0.0111	0.369	0.374	3.89	5.54	0.0288	0.9704	12.41	1.450	21.23	-1.04	9.634
0.0250	28.9923	0.0134	0.392	0.392	4.17	5.81	0.0291	0.9799	13.19	1.510	20.46	-0.96	7.016
0.0300	30.1762	0.0156	0.408	0.406	4.51	6.13	0.0294	0.9842	13.72	1.597	19.92	-0.90	5.759
0.0350	30.9265	0.0179	0.418	0.418	4.88	6.47	0.0296	0.9964	14.06	1.656	19.59	-0.84	4.792
0.0400	31.7688	0.0201	0.425	0.428	5.28	6.82	0.0298	1.0013	14.44	1.707	19.20	-0.79	4.024
0.0450	32.1395	0.0224	0.435	0.436	5.67	7.18	0.0299	1.0077	14.63	1.753	19.01	-0.74	3.434
0.0500	32.6953	0.0246	0.442	0.443	6.05	7.52	0.0299	1.0016	14.86	1.795	18.78	-0.70	2.975
0.0550	32.9946	0.0269	0.446	0.450	6.30	7.82	0.0297	0.9999	15.00	1.833	18.64	-0.64	2.617
0.0600	33.7430	0.0291	0.456	0.455	6.69	8.09	0.0296	0.9955	15.35	1.867	18.29	-0.63	2.339
0.0700	34.4630	0.0336	0.466	0.465	7.09	8.45	0.0294	0.9896	15.67	1.930	17.97	-0.57	1.950
0.0800	35.2279	0.0381	0.476	0.473	7.25	8.60	0.0293	0.9870	16.02	1.984	17.61	-0.51	1.711
0.0900	35.7820	0.0426	0.484	0.480	7.22	8.57	0.0294	0.9874	16.27	2.013	17.37	-0.46	1.562
0.1000	36.4176	0.0471	0.492	0.487	7.05	8.42	0.0294	0.9893	16.56	2.076	17.00	-0.42	1.467
0.1500	38.7050	0.0596	0.523	0.517	5.78	7.28	0.0292	0.9914	17.60	2.246	16.05	-0.25	1.286
0.2000	40.6940	0.0920	0.550	0.545	4.80	6.47	0.0280	0.9912	18.50	2.367	15.14	-0.13	1.212
0.2500	42.2050	0.1145	0.570	0.572	4.34	5.95	0.0267	0.9893	19.19	2.462	14.45	-0.03	1.150
0.3000	43.9768	0.1370	0.594	0.597	3.99	5.64	0.0254	0.9555	19.99	2.540	13.65	0.04	1.092
0.4000	46.0762	0.1819	0.635	0.644	3.60	5.22	0.0238	0.9013	21.16	2.663	12.28	0.17	0.984
0.5000	49.7420	0.2269	0.672	0.686	3.41	5.00	0.0230	0.7721	22.61	2.759	11.03	0.26	0.887
0.7000	54.6963	0.3169	0.730	0.758	3.12	4.89	0.0225	0.7572	24.97	2.904	8.79	0.41	0.720
0.9000	59.7463	0.4067	0.804	0.816	3.43	5.02	0.0231	0.7741	27.17	3.012	6.47	0.52	0.585
1.0000	62.1053	0.4516	0.839	0.841	3.53	5.15	0.0237	0.7941	28.23	3.058	4.41	0.56	0.527
1.1000	64.4876	0.4871	0.864	0.866	3.66	5.30	0.0245	0.8232	29.32	3.022	4.32	0.60	0.475
1.2000	66.0000	0.5415	0.892	0.884	3.81	5.46	0.0254	0.8533	30.01	3.137	3.63	0.64	0.420
1.3000	67.5994	0.5864	0.914	0.902	3.99	5.64	0.0274	0.8979	30.73	3.171	2.91	0.68	0.386
1.4000	68.7160	0.6314	0.929	0.919	4.18	5.82	0.0276	0.9272	31.24	3.201	2.40	0.71	0.364
1.5000	70.0065	0.6763	0.946	0.934	4.40	6.04	0.0277	0.9465	31.83	3.231	1.82	0.74	0.314
1.6000	71.1346	0.7213	0.951	0.947	4.65	6.25	0.0300	1.0016	32.33	3.271	1.12	0.77	0.283
1.7000	71.6135	0.7662	0.968	0.959	4.91	6.49	0.0311	1.0512	32.57	3.287	1.00	0.79	0.215
1.8000	72.0160	0.8111	0.973	0.970	5.21	6.76	0.0326	1.0955	32.74	3.312	0.00	0.82	0.210
1.9000	72.4413	0.8561	0.979	0.980	5.53	7.05	0.0349	1.1318	32.93	3.336	0.71	0.84	0.207
2.0000	72.4512	0.9010	0.979	0.988	5.88	7.37	0.0351	1.1703	32.94	3.358	0.70	0.86	0.186
2.1000	72.5451	0.9465	0.980	0.996	6.27	7.71	0.0362	1.2172	32.98	3.379	0.66	0.88	0.148
2.2000	73.2169	0.9409	0.990	1.004	6.69	8.09	0.0372	1.2419	33.29	3.399	0.35	0.90	0.151

CALCULATION OF SKIN FRICTION - INCOMPRESSIBLE FLOWS

STATION 7 POS.1 PITOT VINH

AMBIENT TEMPERATURE	=	DEGREES R
AMBIENT PRESSURE	=	INS HG
DENSITY	=	SUGGS/FT ³
KINEMATIC VISCOSITY	=	0.00016690 FT ² /SEC
PITOT TUBE HEIGHT	=	0.0120 INS
DISPLACEMENT FACTOR	=	0.150
BOUNDARY LAYER THICKNESS = DELTA	=	2.4500 INS
DISPLACEMENT THICKNESS = DELTA [*]	=	0.4771 INS
MOMENTUM THICKNESS = THETA	=	0.3090 INS
ENERGY THICKNESS = DELTA ^{**}	=	0.519 INS
H = DELTA/ θ	=	1.54
REYNOLDS NUMBER BASED ON THETA	=	11241.
FRICITION VELOCITY	=	2.1259 FT/SEC
FRICITION COEFFICIENT	=	0.00170
FREE STREAM VELOCITY	=	72.9 FT/SEC

COMMAND CARDS:

INITIAL PARAMETERS =

P11 = 1.0000 P22 = -0.7000 P33 = -1.3500 P44 = -1.0000 P55 = -67.0000

FINAL PARAMETERS =

P1 = 1.1073 P2 = -0.6909 P3 = -2.0153 P4 = -0.2541 P5 = -122.2282

MEAN ERROR = 0.006647

N = 5

X1 = 0 X2 = 0 X3 = 0 X4 = 1 X5 = 1 PITOT = 0.03200 ALPHA = 0.150

VC = 0.00016690

DELTA = 2.450 DIST = 0.0 REV = 0.0 C1 = 89140.94 C2 = 1.0

UE = 72.87 UTORT = 0.0 PTE = 0.0 PSE = 0.0 CV = 0.0

CALCULATION OF SKIN FRICTION - INCOMPRESSIBLE FLOWS

STATION 7 POS.1 PITOT VINH

YI	UI	VN	UN	UNS	N	A	UTOR	UTORN	UN*	LOGY*	UN**	LOGY**	SLOPE
0.0160	25.1394	0.0085	0.345	0.338	3.22	4.75	0.0277	0.9479	11.43	1.344	22.45	-1.17	12.370
0.0200	25.3946	0.0101	0.348	0.357	3.40	4.98	0.0277	0.9506	11.95	1.420	22.33	-1.10	10.376
0.0250	26.9948	0.0122	0.370	0.376	3.69	5.32	0.0280	0.9584	12.70	1.500	21.58	-1.02	8.381
0.0300	28.5054	0.0142	0.391	0.391	4.03	5.68	0.0283	0.9714	13.41	1.567	20.87	-0.95	5.825
0.0350	29.4370	0.0162	0.404	0.404	4.43	6.06	0.0287	0.9846	13.84	1.626	20.43	-0.89	5.611
0.0400	30.3566	0.0183	0.417	0.414	4.86	6.44	0.0291	0.9958	14.28	1.677	20.00	-0.84	4.664
0.0450	30.8647	0.0203	0.424	0.423	5.30	6.84	0.0292	1.0019	14.52	1.723	19.76	-0.79	3.925
0.0500	31.4072	0.0224	0.431	0.430	5.75	7.24	0.0293	1.0034	14.77	1.765	19.50	-0.75	3.348
0.0550	31.9355	0.0244	0.438	0.437	6.17	7.63	0.0292	1.0015	15.02	1.803	19.25	-0.71	2.894
0.0600	32.1528	0.0264	0.441	0.442	6.57	7.99	0.0291	0.9974	15.12	1.837	19.15	-0.66	2.545
0.0700	32.7934	0.0305	0.450	0.452	7.20	8.56	0.0288	0.9874	15.41	1.900	18.85	-0.62	2.053
0.0800	33.6977	0.0346	0.462	0.459	7.58	8.90	0.0286	0.9801	15.85	1.954	18.43	-0.56	1.750
0.0900	34.1848	0.0387	0.469	0.466	7.71	9.01	0.0285	0.9775	16.08	2.003	18.20	-0.51	1.562
0.1000	34.5706	0.0428	0.474	0.472	7.64	8.95	0.0284	0.9717	16.26	2.046	18.02	-0.47	1.444
0.1500	38.9102	0.0632	0.507	0.499	8.17	7.80	0.0288	0.9458	17.37	2.216	16.91	-0.30	1.240
0.2000	38.6166	0.0836	0.530	0.524	5.32	8.86	0.0280	0.9546	18.16	2.317	16.11	-0.18	1.178
0.2500	40.0748	0.1040	0.550	0.547	4.66	6.26	0.0267	0.9165	18.85	2.432	15.43	-0.08	1.129
0.3000	41.3201	0.1244	0.567	0.570	4.23	5.85	0.0256	0.9763	19.44	2.510	14.84	-0.01	1.084
0.4000	43.0123	0.1452	0.603	0.612	3.71	5.15	0.0236	0.8099	20.44	2.633	13.61	0.12	0.995
0.5000	46.4180	0.2060	0.637	0.651	2.44	5.03	0.0224	0.7603	21.83	2.729	12.44	0.21	0.919
0.7000	51.2089	0.2077	0.704	0.720	3.21	4.74	0.0218	0.7309	24.13	2.874	10.15	0.36	0.740
0.9000	56.0120	0.3493	0.760	0.779	1.19	4.71	0.0212	0.7269	26.36	2.992	7.92	0.47	0.652
1.0000	58.2030	0.4101	0.795	0.805	3.22	4.76	0.0214	0.7334	27.39	3.028	6.90	0.51	0.609
1.1000	60.1885	0.4509	0.826	0.829	3.28	4.83	0.0217	0.7444	28.31	3.069	5.97	0.55	0.561
1.2000	62.2002	0.4918	0.855	0.851	3.15	4.92	0.0222	0.7591	29.30	3.107	4.98	0.59	0.517
1.3000	64.2536	0.5326	0.882	0.871	3.44	5.03	0.0227	0.7777	30.22	3.141	4.05	0.63	0.476
1.4000	65.5963	0.5734	0.900	0.890	3.54	5.14	0.0233	0.7923	30.86	3.174	3.42	0.66	0.438
1.5000	67.0679	0.6142	0.920	0.907	3.66	5.29	0.0240	0.8239	31.55	3.203	2.73	0.69	0.406
1.6000	68.1707	0.6550	0.938	0.923	3.79	5.44	0.0248	0.8415	32.16	3.231	2.11	0.72	0.372
1.7000	69.2104	0.6950	0.937	0.933	5.58	5.62	0.0257	0.8419	32.56	3.259	1.71	0.74	0.443
1.8000	70.0204	0.7367	0.961	0.951	4.09	5.74	0.0267	0.8152	32.94	3.282	1.35	0.77	0.416
1.9000	70.5130	0.7775	0.968	0.963	4.24	5.89	0.0278	0.8116	33.17	3.306	1.11	0.79	0.291
2.0000	70.8578	0.8181	0.972	0.975	4.45	6.08	0.0287	0.8054	33.33	3.328	0.95	0.81	0.268
2.1000	70.9553	0.8591	0.974	0.985	4.65	6.26	0.0298	1.0228	33.34	3.349	0.90	0.83	0.247
2.2000	71.5755	0.9092	0.982	0.995	4.87	6.45	0.0309	1.0005	33.67	3.369	0.61	0.85	0.227
2.3000	71.9297	0.9407	0.987	1.004	5.10	6.66	0.0320	1.0080	33.82	3.389	0.45	0.87	0.209

Table 16

CALCULATION OF SKIN FRICTION - INCOMPRESSIBLE FLOWS

STATION 8 POS.1 PITOT VINH

AMBIENT TEMPERATURE	=	DEGREES R
AMBIENT PRESSURE	=	INS HG
DENSITY	=	SLUGS/FT ³
KINEMATIC VISCOSITY	=	0.00016930 FT ² /SEC
PITOT TUBE HEIGHT	=	0.0320 INS
DISPLACEMENT FACTOR	=	0.150
BOUNDARY LAYER THICKNESS = DELTA	=	2.6000 INS
DISPLACEMENT THICKNESS = DELTA*	=	0.5271 INS
MOMENTUM THICKNESS = THETA	=	0.3382 INS
ENERGY THICKNESS = DELTA**	=	0.567 INS
H = DELTA*/THETA	=	1.56
REYNOLDS NUMBER BASED ON THETA	=	11836.
FRICITION VELOCITY	=	2.0240 FT/SEC
FRICITION COEFFICIENT	=	0.00167
FREE STREAM VELOCITY	=	71.1 FT/SEC

COMMAND CARDS:

INITIAL PARAMETERS =

P11 = 1.0000 P22 = -0.7000 P33 = -1.3500 P44 = -1.0000 P55 = -67.0000

FINAL PARAMETERS =

P1 = 1.1275 P2 = -0.7182 P3 = -1.8360 P4 = -0.1904 P5 = -107.2311

MEAN ERROR = 0.007229

N = 5

K1 = 0 K2 = 0 K3 = 0 K4 = 1 K5 = 1 PITOT = 0.03200 ALPHA = 0.150

VC = 0.00016930

DELTA = 2.600 DIST = 0.0 RFY = 0.0 C1 = 90982.44 C2 = 1.0

UF = 71.10 UDT01 = 0.0 PTE = 0.0 PSE = 0.0 CV = 0.0

CALCULATION OF SKIN FRICTION - INCOMPRESSIBLE FLOWS

STATION 8 POS.1 PITOT VINH

YI	UI	YN	UN	UNS	N	A	UTOR	UTURN	UN*	LOGY*	UN**	LOGY**	SLOPE
0.0160	24.4031	0.0090	0.343	0.339	4.25	5.88	0.0283	0.9946	12.06	1.316	23.07	-1.21	9.959
0.0200	24.8039	0.0095	0.349	0.353	4.29	5.91	0.0283	0.9955	12.26	1.393	22.87	-1.13	8.638
0.0250	26.0896	0.0115	0.367	0.368	4.42	6.05	0.0283	0.9947	12.80	1.473	22.24	-1.05	7.265
0.0300	27.1959	0.0134	0.383	0.381	4.63	6.24	0.0284	0.9956	13.44	1.540	21.49	-0.99	6.148
0.0400	28.4979	0.0172	0.401	0.402	5.18	6.74	0.0286	1.0052	14.09	1.650	21.05	-0.88	4.425
0.0500	29.5170	0.0211	0.415	0.417	5.82	7.31	0.0286	1.0059	14.54	1.737	20.54	-0.79	3.399
0.0600	30.5144	0.0240	0.427	0.428	6.43	7.86	0.0286	1.0068	15.04	1.810	20.05	-0.72	2.479
0.0700	31.0913	0.0280	0.437	0.437	6.95	8.34	0.0283	0.9913	15.56	1.872	19.77	-0.66	2.145
0.0800	31.9434	0.0326	0.449	0.449	7.34	8.68	0.0281	0.9845	15.78	1.927	19.35	-0.60	1.860
0.1000	32.7863	0.0403	0.461	0.458	7.60	8.91	0.0279	0.9816	16.20	2.019	18.93	-0.51	1.496
0.1500	34.8045	0.0505	0.491	0.483	6.67	9.08	0.0282	0.9894	17.24	2.188	17.80	-0.34	1.217
0.2000	36.7974	0.0788	0.517	0.506	5.61	7.12	0.0277	0.9719	18.18	2.310	16.95	-0.22	1.145
0.2500	37.5549	0.0940	0.529	0.528	4.98	6.47	0.0266	0.9349	18.56	2.405	16.57	-0.12	1.102
0.3000	38.8156	0.1172	0.546	0.540	4.40	5.99	0.0256	0.8079	19.18	2.482	15.95	-0.05	1.063
0.4000	41.6197	0.1557	0.585	0.588	3.81	5.46	0.0235	0.8241	20.56	2.506	14.56	0.04	0.991
0.5000	43.4803	0.1942	0.612	0.625	3.48	5.09	0.0221	0.7772	21.41	2.701	13.64	0.17	0.923
0.6000	46.2118	0.2326	0.650	0.659	3.29	4.85	0.0212	0.7463	22.41	2.780	12.30	0.25	0.860
0.7000	47.8220	0.2711	0.673	0.691	3.18	4.70	0.0207	0.7265	23.61	2.846	11.50	0.32	0.802
0.8000	50.3421	0.3095	0.708	0.721	3.12	4.61	0.0203	0.7148	24.94	2.904	10.25	0.38	0.747
1.0000	54.8710	0.3865	0.772	0.774	3.09	4.58	0.0202	0.7094	27.11	3.000	9.02	0.47	0.649
1.2000	58.8943	0.4614	0.824	0.821	3.14	4.65	0.0205	0.7212	29.10	3.079	6.03	0.55	0.563
1.4000	62.3046	0.5403	0.876	0.861	3.26	4.81	0.0212	0.7450	30.78	3.146	4.14	0.62	0.467
1.6000	65.1021	0.6172	0.916	0.896	3.42	5.01	0.0222	0.7409	32.17	3.206	2.96	0.68	0.425
1.8000	67.0425	0.6942	0.943	0.927	3.62	5.25	0.0235	0.8250	33.12	3.295	2.09	0.73	0.369
2.0000	68.4211	0.7711	0.962	0.953	3.86	5.51	0.0249	0.8778	33.81	3.100	1.32	0.77	0.320
2.2000	69.1413	0.8480	0.973	0.976	4.14	5.78	0.0267	0.9392	34.14	3.342	0.95	0.81	0.278
2.4000	69.8871	0.9249	0.983	0.996	4.46	6.09	0.0286	1.0039	34.53	3.179	0.60	0.85	0.241
2.5000	70.2644	0.9634	0.985	1.005	4.64	6.25	0.0296	1.0382	34.72	3.357	0.41	0.87	0.225

Table 18

TABLES D'APPROXIMATION

Résultats de l'approximation des profils complets et des profils partiels de vitesse :

$$UN = u / U_e \quad V.S \quad YN = y / \delta$$

Par l'expression :

$$UN = A + B e^{C \cdot YN} + D e^{G \cdot YN}$$

Valeurs initiales pour le profil complet :

$$A = 1.0$$

$$B = -0.7$$

$$C = -1.35$$

$$D = -1.0$$

$$G = -67.0$$

Pour les profils partiels, les valeurs initiales (et aussi finales) de A B C D G sont calculées directement par le programme principal.

Notation

OBS = valeur expérimentale de UN

PRED = valeur trouvée par l'approximation

DIFF = PRED - OBS

IND = YN

PROFIL COMPLET DE VITESSE

CALCULATION OF SKIN FRICTION - INCOMPRESSIBLE FLOWS

STATION 4 POS.1 PIOT VNH

N = 31

PARAMETERS	1.000000	-0.700000	-1.349999	-1.0000	-67.0000	MEAN ERROR	0.28289473
PARAMETERS	0.758120	-0.314304	-3.075976	-0.1875	-71.7417	MEAN ERROR	0.12023854
PARAMETERS	1.029327	-0.598273	-3.108845	-0.1961	-107.8382	MEAN ERROR	0.00716091
PARAMETERS	1.032498	-0.593546	-3.011041	-0.2222	-116.9707	MEAN ERROR	0.00506364
PARAMETERS	1.032507	-0.593361	-3.012061	-0.2188	-114.9060	MEAN ERROR	0.00507988

OBS	PREG	DIFF	IND
0.398344	0.392561	-0.005783	0.010521
0.402308	0.409730	0.007423	0.012544
0.424070	0.427184	0.003114	0.015073
0.441186	0.441245	0.000059	0.017602
0.453016	0.452774	-0.000242	0.020132
0.463405	0.462413	-0.000993	0.022661
0.471327	0.470636	-0.000691	0.025190
0.476905	0.477798	0.000893	0.027719
0.486883	0.484164	-0.002719	0.030248
0.490230	0.489928	-0.000302	0.032777
0.501353	0.500202	-0.001150	0.037835
0.511955	0.509395	-0.002560	0.042893
0.518361	0.517937	-0.000424	0.047951
0.531694	0.526066	-0.005629	0.053010
0.568030	0.563594	-0.004436	0.078300
0.595796	0.597996	0.002200	0.103591
0.651201	0.659380	0.008179	0.154173
0.701089	0.712092	0.011003	0.204755
0.745173	0.757356	0.012184	0.255336
0.825876	0.829605	0.003729	0.356500
0.886892	0.882882	-0.004010	0.457663
0.913625	0.904019	-0.009606	0.508245
0.932250	0.922169	-0.010080	0.558826
0.948752	0.937756	-0.010994	0.609408
0.963073	0.951140	-0.011932	0.659990
0.967603	0.962634	-0.004969	0.710572
0.974364	0.972504	-0.001862	0.761153
0.977817	0.980979	0.003163	0.811735
0.981197	0.988258	0.007061	0.862317
0.986817	0.994508	0.007670	0.912898
0.987963	0.999875	0.011912	0.963480

FINAL PARAMETERS	1.032498	-0.593546	-3.011041	-0.222180	-116.970673
MEAN ERROR	0.005064	SUM ERROR	0.000205		

CALCULATION OF SKIN FRICTION - INCOMPRESSIBLE FLOWS

STATION 6 POS.1 PITOT VNH
 $P_1 \text{ RED} = 1.0060$

N = 17

PARAMETERS	1.006012	-0.608228	-3.813031	-0.1649	-153.2346	MEAN ERROR	0.00602573
PARAMETERS	0.643762	-0.225307	-5.691202	-0.2335	-130.231°	MEAN ERROR	0.02033597

DRS	POEN	DIFF	IND
0.372043	0.377650	0.005602	0.009103
0.375269	0.381281	0.006012	0.005540
0.376370	0.384739	0.007639	0.009978
0.385165	0.391177	0.006012	0.010853
0.398141	0.399789	0.001648	0.012166
0.409039	0.407346	-0.001692	0.013479
0.419347	0.416110	-0.003737	0.015230
0.430355	0.425433	-0.005422	0.017418
0.441509	0.433420	-0.008146	0.019606
0.447530	0.440439	-0.007191	0.021794
0.455357	0.446755	-0.009547	0.023982
0.464317	0.457984	-0.006833	0.028359
0.479281	0.472835	-0.005747	0.034023
0.495143	0.495224	-0.002904	0.045864
0.511943	0.512093	0.000151	0.054617
0.530255	0.536242	0.006007	0.067746
0.555946	0.573852	0.017906	0.089628
FINAL PARAMETERS	1.006012	-0.608228	-3.813031
MEAN ERROR	0.006025	SUM FPROR	-0.000014

Table 83

TABLEAUX DES RESULTATS

YN	$\frac{\partial u}{\partial Y}$	l (mm)	$1/\delta$
0.0126	4.904	2999.28	0.00697
0.0150	4.456	2725.25	0.00768
0.0180	3.979	2433.91	0.00859
0.0210	3.581	2190.39	0.00955
0.0271	2.960	1810.52	0.01155
0.0331	2.531	1547.73	0.01351
0.0391	2.225	1360.57	0.01537
0.0452	2.001	1228.19	0.01703
0.0512	1.840	1125.25	0.01859
0.0633	1.626	994.29	0.02104
0.0935	1.363	833.52	0.02510
0.1237	1.210	743.04	0.02815
0.1539	1.086	664.36	0.03148
0.1841	0.976	597.25	0.03503
0.2143	0.878	537.06	0.03895
0.2444	0.790	483.13	0.04330
0.3048	0.639	390.72	0.05334
0.3652	0.517	315.98	0.06620

YN	$\frac{\partial(\text{UN})}{\partial(\text{YN})}$	$\frac{\partial u}{\partial y}$	l (mm)	$1/\delta$
0.0114	6.580	3543.32	0.229	0.00495
0.0136	6.631	3032.18	0.267	0.00578
0.0164	4.680	2520.05	0.322	0.00696
0.0191	3.974	2140.67	0.379	0.00819
0.0240	3.079	1658.05	0.489	0.01060
0.0601	1.523	820.24	0.988	0.02137
0.0850	1.375	740.75	1.095	0.02368
0.0900	1.352	728.14	1.113	0.024080
0.0970	1.322	711.93	1.138	0.02463
0.1125	1.259	678.06	1.195	0.02585
0.1675	1.061	571.63	1.417	0.03066
0.2224	0.895	482.16	1.681	0.03636
0.3323	0.637	342.92	2.364	0.05112
0.4422	0.453	243.90	3.323	0.07188
0.6620	0.229	123.37	6.657	0.19903
0.5521	0.322	173.46	4.672	0.1421
0.7719	0.163	87.74	9.235	0.3950
0.9916	0.082	44.40	18.254	0.3950

YN	$\frac{\partial u}{\partial Y}$	$\frac{\partial u}{\partial y}$	l (mm)	$1/\delta$
0.0105	9.336	4453.88	0.168	0.00335
0.0125	7.738	3691.54	0.203	0.00405
0.0151	6.145	2931.63	0.256	0.00509
0.0176	5.005	2388.01	0.314	0.00625
0.0201	4.152	1980.73	0.378	0.00618
0.0227	3.489	1564.73	0.451	0.00897
0.0252	3.014	1478.81	0.521	0.01040
0.0277	2.656	1266.97	0.591	0.011788
0.0302	2.385	1137.99	0.659	0.013120
0.0328	2.179	1039.80	0.721	0.01436
0.0378	1.907	909.85	0.824	0.01640
0.0429	1.742	831.31	0.902	0.01797
0.0480	1.641	783.03	0.957	0.01907
0.0530	1.576	751.99	0.997	0.01986

STATION 4 POS 1

γ_N	$\frac{\partial \chi_{UN}}{\partial \gamma_N}$	$\frac{\partial U}{\partial y}$	l (mm)	$1/\delta$
0.0099	8.184	3509.34	0.198	0.00370
0.0118	6.809	2919.70	0.238	0.00443
0.0141	5.879	2521.05	0.274	0.00513
0.0165	5.082	2179.39	0.318	0.00593
0.0189	4.430	1899.89	0.364	0.00680
0.0213	3.897	1670.96	0.414	0.00774
0.0236	3.476	1490.54	0.464	0.00868
0.0260	3.114	1335.50	0.518	0.00969
0.0284	2.818	1208.22	0.573	0.01070
0.0308	2.574	1103.62	0.628	0.01172
0.0355	2.214	949.19	0.728	0.01363
0.0402	1.966	824.89	0.820	0.01534
0.0450	1.790	767.61	0.902	0.01685
0.0497	1.669	715.77	0.966	0.01807
0.0735	1.397	599.08	1.155	0.02159
0.0972	1.288	552.30	1.253	0.02342
0.1447	1.129	483.31	1.429	0.02671
0.1921	0.993	425.98	1.624	0.03036

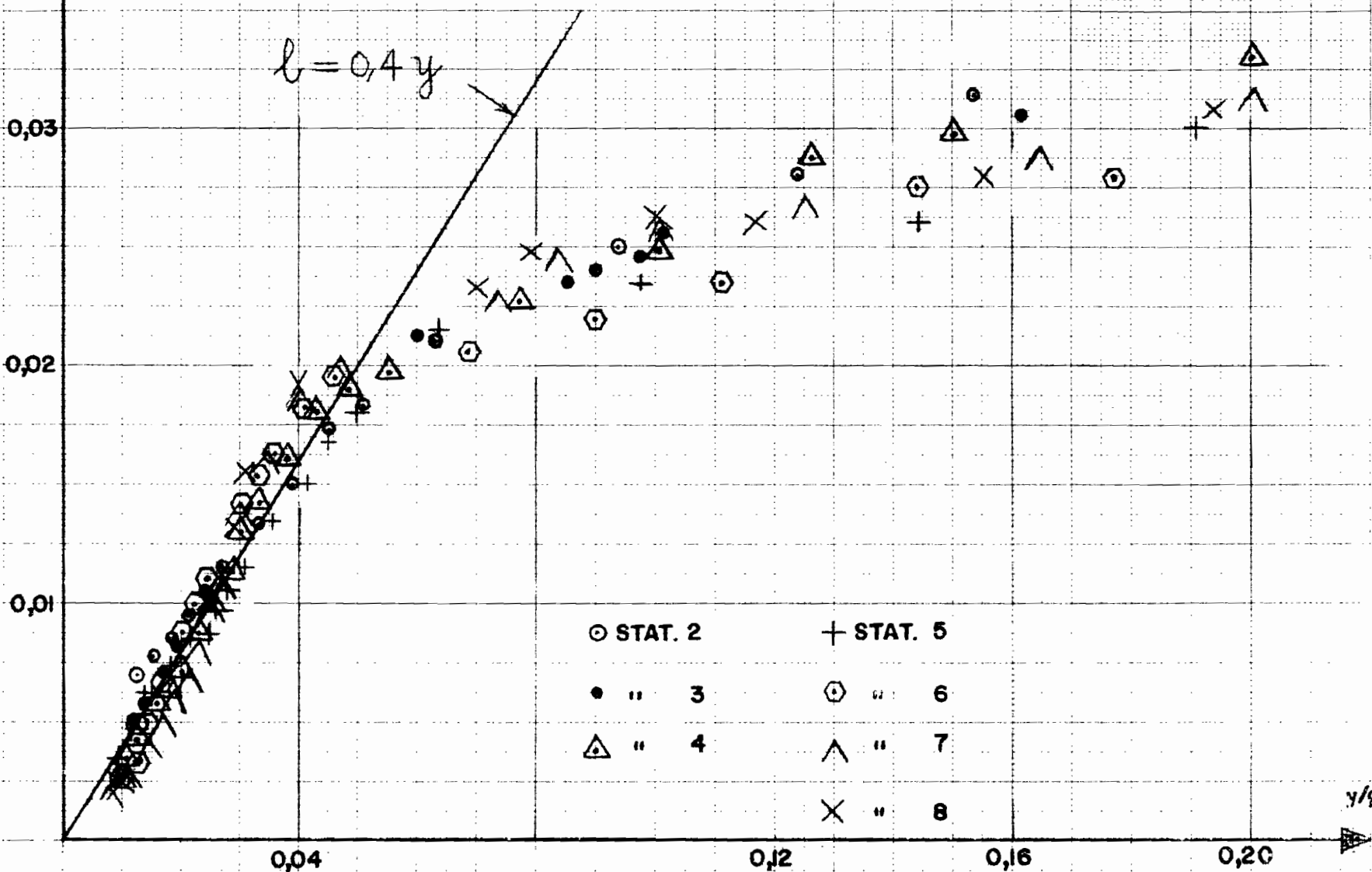
YN	$\frac{\partial(\text{UN})}{\partial(\text{YN})}$	$\frac{\partial U}{\partial Y}$	l(mm)	$1/\rho$
0.0093	10.308	4113.88	0.163	0.002886
0.0111	8.672	3460.99	0.194	0.00343
0.0134	7.011	2798.18	0.240	0.00424
0.0156	5.778	2306.21	0.291	0.00515
0.0179	4.768	1902.93	0.353	0.00624
0.0201	4.034	1610.00	0.417	0.00737
0.0224	3.430	1368.81	0.490	0.00867
0.0246	2.973	1186.38	0.565	0.0100
0.0269	2.615	1043.27	0.643	0.01138
0.0291	2.341	934.34	0.718	0.01270
0.0336	1.951	778.83	0.861	0.01524
0.0381	1.711	682.93	0.982	0.01738
0.0426	1.562	623.42	1.076	0.01903
0.0471	1.467	585.33	1.146	0.02314
0.0696	1.285	513.06	1.307	0.02453
0.0920	1.212	483.83	1.387	0.02586
0.1145	1.150	459.00	1.462	0.02724
0.1370	1.092	435.73	1.540	0.0302

YN	$\frac{\partial U}{\partial (UN)}$	$\frac{\partial U}{\partial Y}$	l(mm)	$1/\delta$
0.0085	12.358	4410.76	0.147	0.00236
0.0101	10.402	3712.48	0.174	0.00280
0.0122	8.350	2980.21	0.217	0.00349
0.0142	6.828	2437.09	0.266	0.00427
0.0162	5.635	2011.36	0.322	0.00517
0.0183	4.659	1662.87	0.389	0.00627
0.0203	3.934	1404.20	0.461	0.00741
0.0224	3.340	1192.29	0.543	0.00873
0.0244	2.900	1034.82	0.625	0.01000
0.0264	2.552	911.102	0.710	0.01142
0.0305	2.056	733.84	0.880	0.01418
0.0346	1.751	624.95	1.036	0.01665
0.0387	1.562	557.49	1.161	0.01867
0.0428	1.443	515.15	1.256	0.02019
0.0632	1.240	442.42	1.463	0.02352
0.0836	1.178	420.31	1.539	0.02476
0.1040	1.129	403.02	1.606	0.02582
0.1244	1.083	386.76	1.673	0.02690

STATION 7 POS 1

YN	$\frac{\partial(U)}{\partial(YN)}$	$\frac{\partial U}{\partial Y}$	l (mm)	$1/\delta$
0.0080	9.957	3267.63	0.189	0.00286
0.0095	8.668	2844.31	0.218	0.00330
0.0115	7.239	2375.81	0.157	0.00464
0.0134	6.139	2014.50	0.305	0.00630
0.0172	4.506	1478.66	0.417	0.00839
0.0211	3.395	1113.60	0.554	0.01010
0.0240	2.819	925.02	0.667	0.0130
0.0288	2.181	715.81	0.862	0.01530
0.0326	1.861	610.75	1.010	0.01900
0.0403	1.496	490.83	1.256	0.02340
0.0595	1.217	399.28	1.545	0.02485
0.0788	1.145	375.86	1.640	0.02582
0.0980	1.102	361.64	1.704	0.02676
0.1172	1.063	348.93	1.768	0.02872
0.1557	0.991	325.12	1.896	0.03083
0.1942	0.923	302.93	2.036	0.03300
0.2326	0.860	282.31	2.185	0.03550
0.2711	0.802	263.04	2.344	0.03810

DISTRIBUTION DE $1/\delta$ EN FONCTION DE y/δ DANS UNE
COUCHE LIMITE POUR LES STATIONS 1 à 8.



DISTRIBUTION DE l_{16} EN FONCTION DE y/δ